arXiv:math/0311442v1 [math.RA] 25 Nov 2003

Equivalence rationnelle d'algèbres polynomiales classiques et quantiques

Lionel Richard

Institut Girard Desargues, Université Claude Bernard, 69622 Villeurbanne Cedex, France

Résumé

Cet article est consacré à l'étude de l'équivalence rationnelle des algèbres non commutatives de polynômes dans un cadre englobant à la fois le problème classique de Gelfand-Kirillov et son analogue quantique. On introduit dans ce contexte mixte une classe d'algèbres de référence et on définit deux nouveaux invariants permettant de séparer les corps de fractions de ces algèbres à isomorphisme près. L'un est lié à la notion de sous-tore quantique maximal simple, l'autre est un invariant dimensionnel mesurant *via* certains plongements le caractère classique, en terme d'algèbre de Weyl, des corps considérés. A titre d'application on en déduit des résultats concernant l'équivalence rationnelle des algèbres de Weyl quantiques multiparamétrées.

Abstract

This article is devoted to rational equivalence for non-commutative polynomial algebras in a context including both the classical Gelfand-Kirillov problem and its quantum version. We introduce in this "mixed" context some reference algebras and define two new invariants allowing us to separate the fraction fields of these algebras up to isomorphism. The first one is linked to the notion of maximal simple quantum sub-torus, and the second one is a dimensionnal invariant measuring the classical character (in terms of Weyl algebras) of the skew-fields into consideration. As an application we obtain results concerning the rational equivalence of multiparametrized quantum Weyl algebras.

Key words: Rational equivalence, iterated Ore extensions, classical and quantum Weyl algebras
2000 MSC: 16K40, 16W35, 16S32

Email address: `Lionel.Richard@igd.univ-lyon1.fr`.

7 Juillet 2003

Introduction.

L'étude des corps de fonctions rationnelles non commutatifs (en un nombre fini de variables) reste fortement imprégnée des problématiques de l'article fondateur [16] de I.M. Gelfand et A.A. Kirillov de 1966. Deux d'entre elles retiendront notre attention dans ce qui suit.

- La première concerne la question de déterminer des classes d'algèbres non commutatives de polynômes (noethériennes, intègres) rationnellement équivalentes à certains types canoniques.
- La seconde consiste à dégager des invariants permettant la classification ou la séparation de ces algèbres canoniques entre elles à équivalence rationnelle près.

Dans le contexte "classique", le premier problème s'articule dans sa formulation originelle autour de l'équivalence rationnelle des algèbres enveloppantes d'algèbres de Lie algébriques avec les algèbres de Weyl sur un anneau de polynômes. Un contre-exemple a été produit dans l'article [4], où l'on trouvera aussi des références exhaustives sur les nombreuses situations où la conjecture est vérifiée. Le second problème est entièrement résolu par deux invariants dimensionnels entiers : le degré de transcendance du centre et la notion de degré de transcendance non-commutatif de Gelfand et Kirillov, qui suffisent à séparer à isomorphisme près les corps de fractions des algèbres de Weyl (corps de Weyl). L'ensemble constitue ce qu'il est d'usage de désigner sous le nom de problème de Gelfand et Kirillov.

Dans le contexte "quantique" le premier problème (formulé par exemple en [2], [19], [22], [9], [20], etc.) a conduit au cours des années 1990 à prouver l'équivalence rationnelle de vastes classes d'algèbres "quantiques" avec des espaces affines quantiques. La littérature concernant la version quantique de la conjecture de Gelfand-Kirillov est abondante (pour une bibliographie plus complète nous renvoyons le lecteur à l'article [3] et au paragraphe II.10.4 de l'ouvrage [8]), et il semble s'agir d'une propriété tout à fait générale concernant de vastes classes d'algèbres noethériennes intègres ([26], [11]). Le second problème est moins simple que dans le cas classique, les invariants dimensionnels précédents ne suffisant pas à séparer à isomorphisme près les corps de fractions des espaces affines quantiques, du fait de leur paramétrisation par toute une matrice de scalaires non-nuls. Sur ce point, mentionnons les résultats obtenus dans le cas uniparamétré par A.N. Panov ([25]), dans le cas "générique" par V.A. Artamonov ([5], [6]), et enfin le théorème 4.2 de [27], rappelé ici en 6.3, portant sur l'équivalence rationnelle des tores quantiques multiparamétrés (algèbres de polynômes de Laurent non-commutatifs) simples.

L'article [12] de L.J. Corwin, I.M. Gelfand et R. Goodman semble être l'un des premiers à poser explicitement des questions relatives à l'équivalence ra-

tionnelle dans des situations mixtes (c'est-à-dire relevant simultanément des contextes classique et quantique), en prenant pour algèbres de référence des produits tensoriels d'algèbres de Weyl et de plans quantiques. Mais c'est dans l'article [3] de J. Alev et F. Dumas que sont obtenus sur ces questions des résultats significatifs avec, d'une part la classification à équivalence rationnelle près de ces algèbres de référence, et d'autre part la production de contre-exemples d'algèbres de polynômes à la fois classiques et quantiques mais non rationnellement équivalentes à un produit tensoriel d'une algèbre de Weyl et d'un espace affine quantique. A la fois par certains outils qui y sont introduits et par certaines questions ouvertes qui y sont formulées, l'article [3] peut être considéré comme un des points de départ du présent travail.

Dans la première section de cet article nous introduisons les algèbres polynomiales mixtes croisées $S^{\Lambda}_{n,r}(k)$ (déjà mentionnées dans [29]), extensions itérées de Ore paramétrées par deux entiers n et r et une matrice $\Lambda \in M_n(k^*)$ en en donnant la définition, des exemples et les premières propriétés. Le rôle de "standard" de ces algèbres pour les situations à la fois classiques et quantiques est mis en évidence à la section 2. On y montre en effet que toute algèbre de polynômes en N variables $x_1, \ldots, x_N$ telle que la relation de commutation entre deux générateurs ne soit que de l'un des deux types suivants, quantique ($x_i x_j = \lambda_{i,j} x_j x_i$ avec $\lambda_{i,j} \in k^*$) ou classique ($x_i x_j - x_j x_i = 1$), est nécessairement isomorphe à une algèbre polynomiale mixte croisée. La preuve se fait par une méthode combinatoire sur les graphes associés à de tels systèmes de générateurs. Via des méthodes de plongements dans des corps de séries de Malcev-Neumann (méthodes maintenant standard), on calcule à la section 3 pour les corps de fractions de ces algèbres leur centre, ainsi que les invariants rationnels E et G introduits dans [2], permettant de séparer les situations purement classiques des situations purement quantiques. L'étude des situations mixtes conduit à introduire deux nouveaux invariants. On montre dans la section 4 que le tore quantique paramétré par la matrice Λ, lorsqu'il est simple, est un invariant de ces corps, appelé sous-tore quantique maximal simple. La section 5 est consacrée à la définition et au calcul d'un autre invariant, dimensionnel celui-ci : le w-degré supérieur, égal à la dimension de la plus petite algèbre de Weyl nécessaire au plongement d'une algèbre donnée dans le corps de fractions du produit tensoriel de cette algèbre de Weyl avec un espace affine quantique. On montre alors que ce w-degré supérieur n'est autre pour le corps de fractions d'une algèbre $S^{\Lambda}_{n,r}(k)$ que le double de l'entier r paramétrant cette algèbre. Sous la seule hypothèse (raisonnable au vu du théorème 4.1.3) de la simplicité du tore quantique paramétré par Λ, on en déduit à la section 6 un système de conditions nécessaires pour l'isomorphisme de corps de fonctions rationnelles mixtes croisés. Ces conditions s'avèrent être également suffisantes dans le cas dit semi-classique (où $n = r$), correspondant aux corps de fractions des algèbres d'opérateurs différentiels eulériens sur l'espace quantique paramétré par Λ, redonnant ainsi un résultat déjà démontré dans [27].

Enfin la dernière section est consacrée à l'application des résultats précédents à une classe d'algèbres significative admettant des localisations communes avec des algèbres polynomiales mixtes croisées : les algèbres de Weyl quantiques multiparamétrées.

Dans toute la suite k désigne un corps de caractéristique zéro, et tous les morphismes considérés sont des morphismes de k-algèbres.

Table des matières

1 Algèbres polynomiales mixtes croisées. 4
1.1 Définitions et premières propriétés. 4
1.2 Exemples et terminologie. 6
1.3 Représentation graphique de certaines algèbres. 7
2 Graphes qW et algèbres polynomiales associées. 8
2.1 Notion de graphe qW. 9
2.2 Algèbre associée à un graphe qW. 10
2.3 Réduction des graphes qW. 14
3 Premiers invariants des corps de fonctions rationnelles mixtes croisés. 18
3.1 Présentation eulérienne des corps $\mathcal{F}\mathrm{rac}(S^{\Lambda}_{n,r}(k))$. 18
3.2 Plongements dans des corps de séries croisées de Malcev-Neuman. 20
3.3 Centre des corps de fonctions rationnelles mixtes croisés. 22
3.4 Invariants E et G. 23
4 Un invariant "quantique" : le sous-tore quantique maximal simple. 25
4.1 Propriétés préliminaires. 25
4.2 Sous-tores quantiques maximaux. 26
4.3 Cas des corps de fonctions rationnelles mixtes croisés. 30
5 Un invariant "classique" : le w-degré supérieur. 30
5.1 Notion de corps de Weyl mixtes. 30
5.2 Un invariant dimensionnel : le w-degré inférieur. 32
5.3 Notion de w-degré supérieur. 33
5.4 Calcul du w-degré supérieur dans le cas général. 37
6 Equivalence rationnelle des algèbres mixtes croisées. 41
7 Applications aux algèbres de Weyl quantiques multiparamétrées. 44
Références 46

1 Algèbres polynomiales mixtes croisées.

1.1 Définitions et premières propriétés.

Afin de fixer les notations nous rappelons les définitions suivantes (voir par exemple le chapitre I.2 de [8]).

Définition 1.1.1 *(1) Soit $n \geq 1$ un entier. Une matrice $\Lambda = (\lambda_{i,j}) \in M_n(k^*)$ est dite multiplicativement antisymétrique si ses coefficients vé-*

rifient

$$\lambda_{i,j}\lambda_{j,i} = \lambda_{i,i} = 1 \quad \textit{pour tous } 1 \leq i, j \leq n.$$

(2) *Soit $\Lambda \in M_n(k^*)$ une matrice multiplicativement antisymétrique. On appelle espace affine quantique paramétré par Λ, et on note*

$$\mathcal{O}_\Lambda(k^n) = k_\Lambda[y_1, \ldots, y_n],$$

la k-algèbre engendrée par n générateurs $y_1, \ldots, y_n$ avec les relations

$$y_i y_j = \lambda_{i,j} y_j y_i \quad \textit{pour tous } i, j.$$

(3) *On appelle tore quantique paramétré par Λ, et on note*

$$\mathcal{O}_\Lambda(k^{*n}) = k_\Lambda[y_1^{\pm 1}, \ldots, y_n^{\pm 1}],$$

la localisation de l'espace affine quantique $k_\Lambda[y_1, \ldots, y_n]$ en la partie multiplicative engendrée par les éléments normaux $y_1, \ldots, y_n$.

(4) *On appelle corps de fonctions rationnelles quantique paramétré par Λ le corps non commutatif*

$$k_\Lambda(y_1, \ldots, y_n) = \mathcal{F}rac(\mathcal{O}_\Lambda(k^n)) = \mathcal{F}rac(\mathcal{O}_\Lambda(k^{*n})).$$

Remarque. Lorsque tous les coefficients de commutation $\lambda_{i,j}$ sont puissance d'un même $q \in k^*$ on parle de *cas uniparamétré*.

Nous définissons maintenant les algèbres polynomiales mixtes croisées, qui nous serviront d'algèbres de référence pour le problème de Gelfand-Kirillov "mixte" (pour des exemples et des propriétés homologiques de ces algèbres, voir [29]).

Définition 1.1.2 *Soient deux entiers $n \geq 1$ et $0 \leq r \leq n$, et une matrice $\Lambda = (\lambda_{i,j})_{1 \leq i,j \leq n} \in M_n(k^*)$ multiplicativement antisymétrique. On appelle algèbre polynomiale mixte croisée paramétrée par n, r et Λ, notée $S^\Lambda_{n,r}(k)$, l'algèbre engendrée sur k par $n + r$ générateurs $y_1, \ldots, y_n, x_1, \ldots, x_r$ avec les relations :*

$$\begin{aligned}
y_i y_j &= \lambda_{i,j} y_j y_i \quad \textit{si} \;\; 1 \leq i, j \leq n, \\
x_i y_i &= y_i x_i + 1 \quad \textit{si} \;\; 1 \leq i \leq r, \\
x_i y_j &= \lambda_{i,j}^{-1} y_j x_i \quad \textit{si} \;\; 1 \leq i \leq r, \; 1 \leq j \leq n, \; i \neq j, \\
x_i x_j &= \lambda_{i,j} x_j x_i \quad \textit{si} \;\; 1 \leq i, j \leq r.
\end{aligned}$$

Remarquons que la sous-algèbre de $S^\Lambda_{n,r}(k)$ engendrée par $y_1, \ldots, y_n$ est k-isomorphe à l'espace quantique $\mathcal{O}_\Lambda(k^n)$, et si $r \geq 1$, la sous-algèbre de $S^\Lambda_{n,r}(k)$

engendrée par x_i et y_i est k-isomorphe pour tout $1 \leq i \leq r$ à l'algèbre de Weyl $A_1(k)$.

Par ailleurs il est clair que $S^{\Lambda}_{n,r}(k)$ est une extension itérée de Ore, noethérienne et intègre. On peut donc considérer son corps de fractions.

Définition 1.1.3 *Soient deux entiers $n \geq 1$ et $0 \leq r \leq n$, et une matrice $\Lambda \in M_n(k^*)$ multiplicativement antisymétrique. On appelle corps de fonctions rationnelles mixte croisé paramétré par n, r et Λ le corps $\mathcal{F}rac(S^{\Lambda}_{n,r}(k))$.*

La GK-dimension et le GK-degré de transcendance sont deux invariants dimensionnels définis dans [16] afin de classer les algèbres et les corps de Weyl. La proposition suivante montre que pour les algèbres $S^{\Lambda}_{n,r}(k)$ ils sont égaux au nombre de générateurs de l'algèbre.

Proposition 1.1.4 *Soient $n \geq 1$ et $0 \leq r \leq n$ deux entiers, et $\Lambda \in M_n(k^*)$ une matrice multiplicativement antisymétrique. Alors*

$$\mathrm{GKdim}(S^{\Lambda}_{n,r}(k)) = \mathrm{GKtrdeg}(\mathcal{F}rac(S^{\Lambda}_{n,r}(k))) = n + r.$$

Preuve. Pour la dimension de Gelfand-Kirillov de l'extension itérée de Ore $S^{\Lambda}_{n,r}(k)$, on utilise récursivement le lemme 2.2 de [18]. Le calcul du GK-degré de transcendance du corps de fractions résulte alors du théorème 7.3 de [31]. Pour plus de détails sur le calcul de ces invariants dans le contexte de cet article nous renvoyons au chapitre 1 de [28]. □

Notation. Pour $n = 2$, la matrice Λ est paramétrée par un seul scalaire $\lambda = \lambda_{1,2}$. On notera parfois $S^{\lambda}_{2,r}(k)$ pour $S^{\Lambda}_{2,r}(k)$.

Remarque. Comme on l'a déjà noté dans [29], les algèbres $S^{\Lambda}_{n,r}(k)$ peuvent être vues comme des algèbres d'opérateurs différentiels tordus sur un espace quantique paramétré par Λ.

1.2 Exemples et terminologie.

1.2.1 *Cas purement quantique.* Dans le cas où $r = 0$, l'algèbre $S^{\Lambda}_{n,0}(k)$ n'est autre que l'espace affine quantique $\mathcal{O}_{\Lambda}(k^n)$.

1.2.2 *Cas purement classique.* Dans le cas où tous les $\lambda_{i,j}$ valent 1, l'algèbre $S^{(1)}_{n,r}(k)$ est l'algèbre de Weyl $A_r(k[y_{r+1}, \ldots, y_n]) = A_{r,t}(k)$ avec $t = n - r$. Lorsque $r = n$ on retrouve l'algèbre de Weyl usuelle $A_n(k)$.

1.2.3 *Cas semi-classique.* Dans le cas $n = r$, sans hypothèse sur la matrice Λ, les algèbres $S^{\Lambda}_{n,n}(k)$ sont des cas particuliers d'algèbres de Weyl quantiques multiparamétrées $A^{\bar{q},\Lambda}_n(k)$ (voir [2], [8], [17], [20],... ou la section 7 du présent article), correspondant au cas où les paramètres de quantification $\bar{q} = (q_1, \ldots, q_n)$ valent tous 1. En particulier, l'algèbre $S^{\Lambda}_{2,2}(k) = A^{(1,1),\Lambda}_2(k)$ est déjà considérée dans [3] (voir aussi le début de la section 5 de cet article). Les algèbres $S^{\Lambda}_{n,n}(k)$ sont simples, et de centre k (voir [17], et le chapitre 5 de [28]). Il est démontré dans [29] que l'homologie et la cohomologie de Hochschild des $S^{\Lambda}_{n,n}(k)$ sont identiques à celles de l'algèbre de Weyl $A_n(k)$.

1.2.4 Beaucoup d'exemples d'algèbres liées aux groupes quantiques ont des localisations communes avec des algèbres $S^{\Lambda}_{n,r}(k)$. C'est bien sûr le cas de toutes les situations où l'analogue quantique de la conjecture de Gelfand-Kirillov est vérifié (avec alors $r = 0$). C'est le cas de l'algèbre étudiée par D.A. Jordan dans [21], admettant pour corps de fractions le corps $\mathcal{F}\mathrm{rac}(S^{q}_{2,1}(k))$, et de certaines extensions itérées de Ore (voir le chapitre 1 de [28]).

1.2.5 Les algèbres polynomiales mixtes croisées en dimension 2 sont l'algèbre commutative $k[y_1, y_2]$ et le plan quantique $k_\lambda[y_1, y_2]$ pour $n = 2$ et $r = 0$, et l'algèbre de Weyl $A_1(k)$ pour $n = r = 1$. On déduit alors des résultats de [7] (voir aussi la proposition 3.2 de [2]) que toute extension de Ore itérée en 2 variables est rationnellement équivalente à une algèbre polynomiale mixte croisée. Il est facile de vérifier qu'en dimension 3 les différentes algèbres polynomiales croisées sont : l'algèbre commutative $k[x, y, z]$ et les espaces quantiques $\mathcal{O}_\Lambda(k^3)$ pour $n = 3$ et $r = 0$, et l'algèbre de Weyl $A_{1,1}(k) = A_1(k[z])$ et les algèbres $S^{\Lambda}_{2,1}(k)$ pour $n = 2$ et $r = 1$.

1.3 Représentation graphique de certaines algèbres.

On reprend ici (en l'aménageant au cadre multiparamétré) une convention introduite en [3] pour illustrer les relations de commutation entre les générateurs de certains types d'extensions itérées de Ore.

Soit R une extension itérée de Ore en N générateurs $x_1, \ldots, x_N$. On suppose que pour tous $1 \leq i, j \leq N$ les relations entre générateurs sont de l'un des 2 types suivants : $[x_i, x_j] = 1$ ou $x_i x_j = \lambda_{i,j} x_j x_i$ avec $\lambda_{i,j} \in k^*$. On représente alors R par un graphe à N sommets indexés par $x_1, \ldots, x_N$ et tels que deux sommets quelconques x_i et x_j sont reliés par une arête orientée "colorée" de l'une des deux façons suivantes :

– arête de Weyl (épaisse) :

$x_i \bullet\!\!\longrightarrow\!\!\bullet\, x_j$ signifie qu'on a la relation $[x_i, x_j] = 1$;

– arête quantique (mince, pondérée) :

$x_i \overset{\lambda_{i,j}}{\bullet\!\!\longrightarrow\!\!\bullet} x_j$ signifie qu'on a la relation $x_i x_j = \lambda_{i,j} x_j x_i$.
Pour alléger, on convient de ne pas faire figurer sur le graphe les arêtes quantiques de poids 1. On a donc la convention supplémentaire suivante :
– absence d'arête :
$x_i \bullet \qquad \bullet\, x_j$ signifie qu'on a la relation $x_i x_j = x_j x_i$.
Ainsi l'algèbre de Weyl $A_{n,t}(k) = A_n(k[z_1, \ldots, z_t])$ est représentée par le graphe :

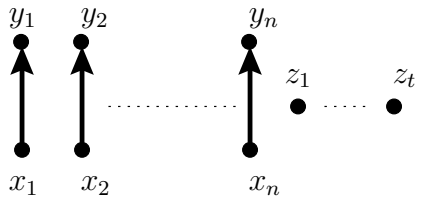

Un espace quantique multiparamétré $\mathcal{O}_\Lambda(k^n)$ est représenté par un graphe du type :

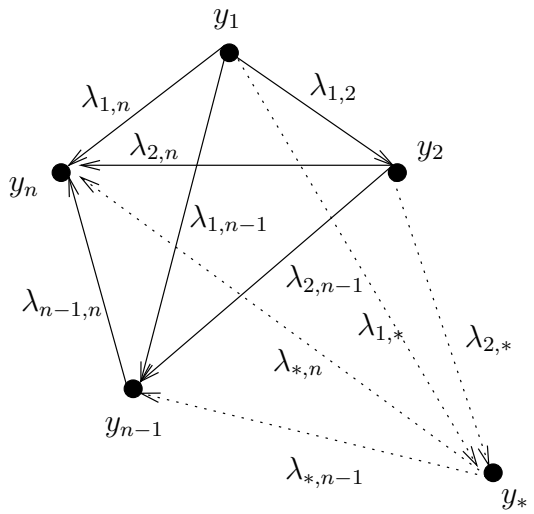

Remarque. A ce stade, de tels graphes ne sont que des illustrations permettant de présenter de façon synthétique et parlante un certain nombre de relations de commutation. La question de savoir reconnaître, parmi tous les graphes que l'on peut ainsi construire, ceux qui correspondent effectivement à des extensions itérées de Ore en N variables, ainsi que le problème de classifier les différents graphes représentant des algèbres isomorphes sont traités de façon systématique à la section suivante.

2 Graphes qW et algèbres polynomiales associées.

Nous montrons dans cette section que les algèbres polynomiales mixtes croisées sont la réponse à la question (posée dans [12]) de savoir quelles classes d'algèbres

à équivalence rationnelle près on obtient à partir de présentations par générateurs et relations ne faisant intervenir que des relations de type "quantique" ($XY = qYX$) ou "de Weyl" ($XY = YX + 1$).

2.1 Notion de graphe qW.

Définition 2.1.1 *On appelle graphe qW la donnée de N sommets $X_1, \ldots,$ X_N deux à deux distincts reliés entre eux par des arêtes orientées pondérées des deux types suivants, arbitrairement (pour l'instant) dénommées :*
– arête de Weyl de poids $p_{j,i} \in \mathbb{Z}$:

$$X_j \bullet\!\xrightarrow{p_{j,i}}\!\bullet\, X_i$$

– arête quantique de poids $\lambda_{j,i} \in k^*$:

$$X_j \bullet\!\xrightarrow{\lambda_{j,i}}\!\bullet\, X_i$$

tels que :

(1) aucune arête ne relie un sommet à lui-même ;

(2) une arête au plus relie deux sommets quelconques.

Lorsqu'une arête (quantique ou de Weyl) va du sommet X_j vers le sommet X_i on dit que X_j est la *source* de l'arête, et que X_i est le *but* de l'arête.

Soit Γ un graphe qW quelconque. Il est clair que si l'on extrait de Γ un certain nombre de sommets et *toutes* les arêtes qui relient ces sommets, on obtient encore un graphe qW, qu'on appelle un sous-graphe qW de Γ.

Définition 2.1.2 *On dit que deux graphes qW sont équivalents si l'on passe de l'un à l'autre par un nombre fini d'opérations des types suivants, ou leurs inverses :*

(1) on place une arête de Weyl de poids 0

$$X_j \bullet\!\xrightarrow{0}\!\bullet\, X_i$$

entre deux sommets reliés par aucune arête

$$X_j \bullet \qquad \bullet\, X_i$$

(2) on place une arête quantique de poids 1

$$X_j \bullet\!\xrightarrow{1}\!\bullet\, X_i$$

entre deux sommets reliés par aucune arête

$$X_j \bullet \qquad \bullet\, X_i$$

(3) on remplace une arête de Weyl de poids $p_{j,i}$ de X_j vers X_i

$$X_j \overset{p_{j,i}}{\bullet\!\!\longrightarrow\!\!\bullet} X_i$$

par une arête de Weyl de poids $-p_{j,i}$ *de* X_i *vers* X_j

$$X_j \overset{-p_{j,i}}{\bullet\!\!\longleftarrow\!\!\bullet} X_i$$

(4) on remplace une arête quantique de poids $\lambda_{j,i}$ *de* X_j *vers* X_i

$$X_j \overset{\lambda_{j,i}}{\bullet\!\!\longrightarrow\!\!\bullet} X_i$$

par une arête quantique de poids $\lambda_{j,i}^{-1}$ *de* X_i *vers* X_j

$$X_j \overset{\lambda_{j,i}^{-1}}{\bullet\!\!\longleftarrow\!\!\bullet} X_i$$

Définition 2.1.3 *Un graphe qW est dit* admissible *si tous ses sous-graphes à trois sommets sont équivalents à l'un des graphes suivants :*

(TA1)
$$\begin{tikzcd} X_j \arrow[r, "\rho"] & X_i \\ X_k \arrow[u, "\lambda"] \arrow[ur, "\mu"'] & \end{tikzcd}$$
;

(TA2)
$$\begin{tikzcd} X_j \arrow[r, "p"] & X_i \\ X_k \arrow[u, "m"] \arrow[ur, "n"'] & \end{tikzcd}$$
;

(TA3)
$$\begin{tikzcd} X_j \arrow[r, "\lambda"] & X_i \\ X_k \arrow[u, "\lambda"] \arrow[ur, "p"'] & \end{tikzcd}$$
;

où $m, n, p \in \mathbb{Z}$, *et* $\lambda, \mu, \rho \in k^*$.

On parlera parfois de "triangle admissible" pour de tels sous-graphes.

2.2 Algèbre associée à un graphe qW.

Définition 2.2.1 *Soit* Γ *un graphe qW à* N *sommets* $X_1, \ldots, X_N$. *On appelle algèbre associée à* Γ, *et on note* $\mathcal{A}(\Gamma)$ *le quotient de l'algèbre libre en* N *générateurs* $X_1, \ldots, X_N$ *par l'idéal engendré par les éléments* $\{R_{j,i}\}_{(j,i)\in\mathcal{I}}$, *où* $\mathcal{I} \subset \{1, \ldots, n\}^2$, *définis par :*

- $R_{j,i} = X_jX_i - X_iX_j - p_{j,i}$ *s'il existe une arête de Weyl de poids* $p_{j,i}$ *de* X_j *vers* X_i *;*

– $R_{j,i} = X_jX_i - \lambda_{j,i}X_iX_j$ *s'il existe une arête quantique de poids* $\lambda_{j,i}$ *de* X_j *vers* X_i *;*
– $R_{j,i} = X_jX_i - X_iX_j$ *si* X_j *et* X_i *ne sont reliés par aucune arête.*

Dans la suite, X_i désignera indifféremment un sommet d'un graphe Γ ou un générateur de l'algèbre $\mathcal{A}(\Gamma)$. Il est clair que deux graphes qW équivalents ont des algèbres associées k-isomorphes. Par ailleurs, une algèbre $S^{\Lambda}_{n,r}(k)$ apparaît clairement comme une algèbre associée à un graphes qW, polynomiale en ces générateurs. On démontre dans la suite de cette section qu'à isomorphisme près les algèbres polynomiales mixtes croisées sont les seules telles algèbres.

Lemme 2.2.2 *Soit* Γ *un graphe* qW *à* N *sommets* $X_1, \ldots, X_N$*. On suppose que dans l'algèbre* $\mathcal{A}(\Gamma)$*, les générateurs* $X_1, \ldots, X_N$ *sont* k*-linéairement indépendants. Soient* X_i *et* X_j *deux générateurs de* $\mathcal{A}(\Gamma)$ *vérifiant* $X_iX_j = X_jX_i + p$*, avec* $p \in \mathbb{Z} \setminus \{0\}$*. Soit* X_k *un autre générateur. On a les deux propriétés suivantes :*

(1) si $X_iX_k - X_kX_i = m \in \mathbb{Z}$*, alors* $X_jX_k - X_kX_j = n \in \mathbb{Z}$ *;*

(2) si $X_iX_k = \lambda X_kX_i$*, avec* $\lambda \in k \setminus \{0, 1\}$*, alors* $X_jX_k = \lambda^{-1}X_kX_j$*.*

Preuve. 1. Supposons que $X_kX_j = \lambda X_jX_k$. Puisque $\mathcal{A}(\Gamma)$ est associative, on a : $(X_kX_j)X_i = X_k(X_jX_i)$. Or

$$(X_kX_j)X_i = \lambda X_jX_kX_i = \lambda X_j(X_iX_k - m) = \lambda X_iX_jX_k - \lambda pX_k - \lambda mX_j.$$

Par ailleurs,

$$X_k(X_jX_i) = X_k(X_iX_j - p) = X_iX_kX_j - mX_j - pX_k = \lambda X_iX_jX_k - mX_j - pX_k.$$

Par hypothèse sur $\mathcal{A}(\Gamma)$, les générateurs X_j et X_k sont indépendants, on doit donc avoir $\lambda p = p$ et $\lambda m = m$. Puisque $p \neq 0$, on conclut $\lambda = 1$.

2. En inversant les rôles de X_i et X_j, l'hypothèse $X_iX_j - X_jX_i = p \in \mathbb{Z} \setminus \{0\}$ et le point 1 impliquent qu'on ne peut pas avoir à la fois $X_iX_k = \lambda X_kX_i$, avec $\lambda \in k \setminus \{0, 1\}$, et $X_jX_k - X_kX_j = n \in \mathbb{Z} \setminus \{0\}$. On a donc : $X_jX_k = \mu X_kX_j$, avec $\mu \in k^*$. Alors

$$(X_kX_j)X_i = \mu^{-1}X_jX_kX_i = \mu^{-1}\lambda^{-1}X_jX_iX_k = \mu^{-1}\lambda^{-1}X_iX_jX_k - \mu^{-1}\lambda^{-1}pX_k.$$

Par ailleurs,

$$X_k(X_jX_i) = X_k(X_iX_j - p) = \lambda^{-1}X_iX_kX_j - pX_k = \lambda^{-1}\mu^{-1}X_iX_jX_k - pX_k.$$

A nouveau de $(X_kX_j)X_i = X_k(X_jX_i)$ on déduit que $\mu^{-1}\lambda^{-1}p = p$. Puisque $p \neq 0$, on conclut $\lambda\mu = 1$. $\square$

Proposition 2.2.3 *Soit Γ un graphe qW de sommets $X_1, \ldots, X_N$. Alors les deux assertions suivantes sont équivalentes :*

(1) les monômes $\{X_1^{\alpha_1} \ldots X_N^{\alpha_N}\}_{\alpha=(\alpha_1,\ldots,\alpha_N)\in\mathbb{N}^N}$ forment une base de k-espace vectoriel de l'algèbre $\mathcal{A}(\Gamma)$;

(2) le graphe Γ est admissible.

Preuve. A équivalence près, les sous-graphes à trois sommets d'un graphe qW quelconque Γ sont de l'un des types suivants :

(I) 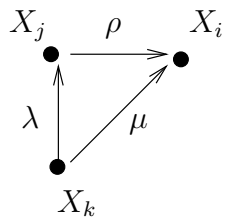

; (II) 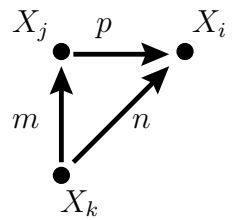

;

(III) 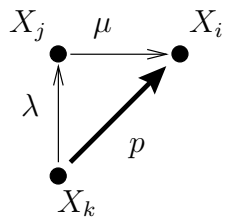

; (IV) 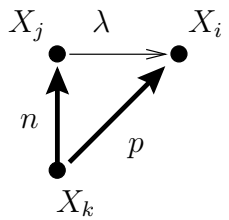

.

On remarque que les triangles (I) et (II) sont toujours admissibles. Supposons que le point (1) soit vrai. Alors le lemme 2.2.2 s'applique, et permet de montrer que le cas (III) ne peut avoir lieu que si $p = 0$ (il se ramène alors au cas (I)) ou si $\lambda\mu = 1$ (ce qui donne un triangle admissible de type (TA3)). Le cas (IV) ne peut avoir lieu que si $\lambda = 1$ (il se ramène alors au cas (II)) ou si $n = p = 0$ (il se ramène alors au cas (I)).

Réciproquement, supposons que Γ soit admissible. On montre que les monômes $\{X_1^{a_1} \ldots X_N^{a_N}\}$ forment une base de k-espace vectoriel de $\mathcal{A}(\Gamma)$ grâce au lemme du diamant. Nous renvoyons le lecteur au chapitre I.11 de [8] pour une présentation de ce résultat adaptée au cadre de cet article, et pour les définitions des notions de système de réduction, d'ambiguïté d'inclusion et d'ambiguïté de superposition. A équivalence près, on peut réorienter les flèches de Γ de telle sorte qu'elles soient toutes orientées de X_j vers X_i pour $j > i$. En suivant les notations du chapitre I.11 de [8], l'ordre longueur-lexicographique (c'est-à-dire qu'on ordonne les mots d'abord par leur longueur, puis on ordonne les mots de longueur égale par l'ordre lexicographique usuel) sur les monômes est compatible avec le système de réduction

$$S = \{(X_jX_i, X_jX_i - R_{j,i}),\ 1 \leq i < j \leq N\},$$

et il n'y a pas d'ambiguïté d'inclusion, car les X_jX_i sont tous des mots distincts de la même longueur. On peut alors avoir 8 types d'ambiguïtés de superposition, suivant les relations que vérifient X_i, X_j, X_k avec $i < j < k$. La vérification de la résolubilité de toutes ces ambiguïtés de superposition est facile sous l'hypothèse que Γ est admissible. A titre d'exemple, soient $i < j < k$ tels que

$$R_{j,i} = X_jX_i - X_iX_j - 1,\ R_{k,i} = X_kX_i - \lambda X_iX_k,\ R_{k,j} = X_kX_j - \lambda^{-1}X_jX_k.$$

Alors par résolutions successives

$$(X_kX_j)X_i \text{ donne } \lambda^{-1}X_jX_kX_i, \text{ qui donne } \lambda^{-1}X_j\lambda X_iX_k, \text{ qui donne } (X_iX_j+1)X_k.$$

D'autre part,

$$X_k(X_jX_i) \text{ donne } X_k(X_iX_j+1), \text{ qui donne } \lambda X_iX_kX_j + X_k, \text{ qui donne } \lambda X_i\lambda^{-1}X_jX_k + X_k,$$

et on a bien $(X_iX_j+1)X_k = X_iX_jX_k + X_k$. Les autres ambiguïtés de superposition se traitent de même, et sont laissées au lecteur. □

Corollaire 2.2.4 *Soit Γ un graphe qW admissible avec N sommets $X_1, \ldots, X_N$. Alors :*

(1) $\mathcal{A}(\Gamma)$ est une extension itérée de Ore $k[X_1][X_2;\sigma_2,\delta_2]\ldots[X_N;\sigma_N,\delta_N]$, où les automorphismes et σ-dérivations traduisent les relations entre les générateurs X_i codées par le graphe Γ ;

(2) $\mathrm{GKdim}(\mathcal{A}(\Gamma)) = \mathrm{GKtrdeg}(\mathcal{F}rac(\mathcal{A}(\Gamma))) = N$.

Preuve. 1. Le fait que $\mathcal{A}(\Gamma)$ soit une extension itérée de Ore découle de l'existence d'une base de k-espace vectoriel montrée dans la proposition précédente, et des relations de commutation entre les générateurs, qu'on traduit à l'aide des automorphismes σ_i et des σ_i-dérivations δ_i.

2. Comme à la proposition 1.1.4, on utilise récursivement le lemme 2.2 de [18], puis le théorème 7.3 de [31]. □

Remarque. Les algèbres polynomiales croisées $S^{\Lambda}_{n,r}(k)$ de la section 1 sont, de par leur définition même, des exemples d'algèbres $\mathcal{A}(\Gamma)$. Le but de la fin de cette section est de démontrer que réciproquement, toute algèbre $\mathcal{A}(\Gamma)$ associée à un graphe admissible est isomorphe à une algèbre $S^{\Lambda}_{n,r}(k)$.

Plusieurs graphes qW peuvent évidemment être associés à des algèbres isomorphes. Ainsi par exemple

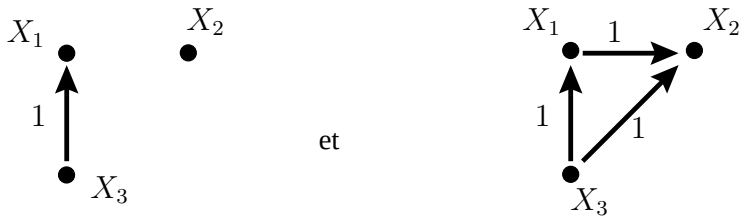

représentent tous les deux l'algèbre de Weyl $A_{1,1}(k)$ (dans la seconde algèbre il suffit de remplacer X_2 par un autre générateur : $X_1 - X_2 - X_3$ pour retrouver les relations usuelles de $A_{1,1}(k)$). On cherche donc à réduire les graphes qW à une forme canonique, qui correspondra exactement aux algèbres polynomiales mixtes croisées.

Définition 2.3.1 *Soit Γ un graphe qW admissible à N sommets. On appelle famille de* générateurs graphiques *de l'algèbre $\mathcal{A}(\Gamma)$ toute famille $(Y_1, \ldots, Y_N)$ d'éléments de $\mathcal{A}(\Gamma)$, vérifiant les points suivants :*

(1) les monômes $\{Y_1^{\alpha_1} \ldots Y_N^{\alpha_N}\}_{\alpha \in \mathbb{N}^N}$ forment une base de k-espace vectoriel de $\mathcal{A}(\Gamma)$;

(2) les Y_i vérifient seulement des relations de type quantique ($Y_iY_j = \lambda_{i,j}Y_jY_i$, $\lambda_{i,j} \in k^*$) ou de type Weyl pondéré ($Y_iY_j = Y_jY_i + p_{i,j}$, $p_{i,j} \in \mathbb{Z}$).

Par définition, les sommets d'un graphe qW admissible Γ sont des générateurs graphiques de $\mathcal{A}(\Gamma)$. Et si $(Y_1, \ldots, Y_N)$ est une famille de générateurs graphiques d'une algèbre $\mathcal{A}(\Gamma)$ associée à graphe qW admissible Γ, on peut construire un graphe qW admissible Γ', de sommets $Y_1, \ldots, Y_N$ et dont les arêtes codent les relations entre les Y_i dans $\mathcal{A}(\Gamma)$. Evidemment on a alors $\mathcal{A}(\Gamma) = \mathcal{A}(\Gamma')$. On dira dans la suite que Γ' est le graphe qW admissible *associé* à $(Y_1, \ldots, Y_N)$.

Notations. Pour un graphe qW fixé Γ quelconque, on note $\mathcal{W}(\Gamma)$ l'ensemble des sommets de Γ qui sont sommet d'au moins une arête de Weyl de poids non nul de Γ. On note $V(\Gamma)$ l'ensemble des paires $\{X_i, X_j\}$ de sommets distincts de Γ, tels que X_i et X_j sont reliés par une arête de Weyl de poids non nul (dans un sens ou dans l'autre), et tels que ni X_i ni X_j ne sont sommets d'une autre arête de Weyl de poids non nul. Enfin, on note $\mathcal{V}(\Gamma)$ l'ensemble des sommets de Γ éléments d'une paire $\{X_i, X_j\}$ appartenant à $V(\Gamma)$. On remarque que $\mathcal{V}(\Gamma) \subset \mathcal{W}(\Gamma)$.

Le but de ce qui suit est de montrer que, *via* un changement de générateurs graphiques, on peut toujours se ramener à $\mathcal{V}(\Gamma) = \mathcal{W}(\Gamma)$. Cette réduction est obtenue au lemme 2.3.4 grâce à la suite de lemmes suivants.

Lemme 2.3.2 *Soit Γ un graphe qW admissible. Soient X, Y, Z trois sommets de Γ, tels que $XY = YX + n$ et $XZ = ZX + p$, avec $n, p \in \mathbb{Z} \setminus \{0\}$. Notons $T_1, \ldots, T_k$ les autres sommets de Γ. Dans l'algèbre $\mathcal{A}(\Gamma)$, considérons $Y' = \alpha Y + \beta Z$, où $\alpha, \beta \in \mathbb{Z}$, $\alpha \neq 0$. Alors $X, Y', Z, T_1, \ldots, T_k$ sont des générateurs graphiques de $\mathcal{A}(\Gamma)$. Plus précisément :*
- *si $YT_i = \lambda T_i Y$, avec $\lambda \neq 1$, alors $Y'T_i = \lambda T_i Y'$.*
- *si $YT_i = T_i Y + m$, avec $m \in \mathbb{Z}$, alors il existe $r \in \mathbb{Z}$ tel que $ZT_i = T_i Z + r$, et $Y'T_i = T_i Y' + \alpha m + \beta r$.*

Preuve. La famille $(X, Y', Z, T_1, \ldots, T_k)$ vérifie le point 1 de la définition 2.3.1. Par ailleurs si $YT_i = \lambda T_i Y$, avec $\lambda \neq 1$, alors $XT_i = \lambda^{-1} T_i X$ (lemme 2.2.2), et $ZT_i = \lambda T_i Z$, d'où $Y'T_i = \lambda T_i Y'$. De même si $YT_i = T_i Y + m$, on ne peut pas avoir $ZT_i = \lambda T_i Z$ pour $\lambda \neq 1$, et le reste du lemme se vérifie facilement. □

Lemme 2.3.3 *Soit Γ un graphe qW admissible de sommets $X_1, \ldots, X_N$. Si $\mathcal{V}(\Gamma) \neq \mathcal{W}(\Gamma)$, alors il existe une famille $(Y_1, \ldots, Y_N)$ de générateurs graphiques de $\mathcal{A}(\Gamma)$, tels que le graphe qW admissible Γ' associé à $(Y_1, \ldots, Y_N)$ vérifie :*

$$\sharp\mathcal{V}(\Gamma') > \sharp\mathcal{V}(\Gamma), \quad \textit{et} \quad \sharp\mathcal{W}(\Gamma') \leq \sharp\mathcal{W}(\Gamma).$$

Preuve. La démonstration se fait en plusieurs étapes. Soit $X \in \mathcal{W}(\Gamma) \setminus \mathcal{V}(\Gamma)$. Notons Γ_o le sous-graphe de Γ constitué des sommets de Γ qui sont dans $\mathcal{V}(\Gamma)$.

Etape 1. Supposons X relié par r arêtes de Weyl de poids $p_1, \ldots, p_r$ non nuls respectivement à des sommets $S_1, \ldots, S_r$ de Γ. Notons $Z_1, \ldots, Z_t$ les sommets restants de Γ. Parce que $X \notin \mathcal{V}(\Gamma)$, les sommets $S_1, \ldots, S_r$ ne sont pas non plus dans $\mathcal{V}(\Gamma)$, et $\mathcal{V}(\Gamma)$ est inclus dans $\{Z_1, \ldots, Z_t\}$. Si $r = 1$ on pose $\widetilde{\Gamma} = \Gamma$ et on passe directement à la deuxième étape. Sinon, on a partiellement le schéma suivant :

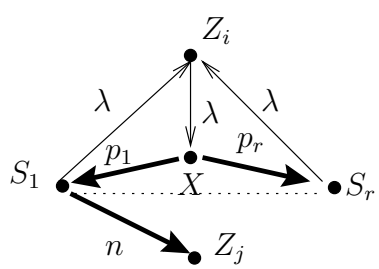

On va montrer qu'à un changement de générateurs près, on peut supposer que X n'est sommet que d'une arête de Weyl de poids non nul. Pour cela on démontre qu'il existe des éléments $S'_1, \ldots, S'_r$ de A, vérifiant les points suivants :

(1) les éléments $X, S'_1, \ldots, S'_r, Z_1, \ldots, Z_t$ sont des générateurs graphiques de A ;

(2) pour tout $i \in \{1, r\}$, on a $[X, S'_i] = p'_i$, et p'_1 divise p'_i pour tout $i \geq 2$ tel que $p'_i \neq 0$;

(3) si on note $\widehat{\Gamma}$ le graphe qW admissible associé à $(X, S'_1, \ldots, S'_r, Z_1, \ldots, Z_t)$, on a pour tout j les implications :

$$[Z_j \in \mathcal{W}(\widehat{\Gamma}) \Rightarrow Z_j \in \mathcal{W}(\Gamma)] \text{ et } [Z_j \in \mathcal{V}(\Gamma) \iff Z_j \in \mathcal{V}(\widehat{\Gamma})].$$

Supposons d'abord que $r = 2$. Si p_1 divise p_2 ou si p_2 divise p_1, quitte à réindexer S_1 et S_2 il n'y a rien à faire. Sinon soit $d = \text{pgcd}(p_1, p_2)$, de sorte que $d = up_1 + vp_2$, avec u et v entiers non nuls. On pose alors $S'_1 = uS_1 + vS_2$ et $S'_2 = S_2$. Le lemme 2.3.2 permet de conclure que les points (1) et (2) ci-dessus sont bien vérifiés, et que pour tout $j \leq t$, s'il existe $\lambda \neq 1$ tel que $S_1 Z_j = \lambda Z_j X_1$, alors $S_2 Z_j = \lambda Z_j S_2$. Il découle de ceci qu'en remplaçant S_1 par S'_1 on ne va "créer" de nouvelle arête de Weyl entre Z_j et S'_1 que si Z_j était déjà relié par une arête de Weyl à S_1 ou S_2. Ainsi on ne fait pas apparaître dans $\mathcal{W}(\widehat{\Gamma})$ des sommets Z_j qui ne se trouvaient pas dans $\mathcal{W}(\Gamma)$, et une paire de sommets $\{Z_i, Z_j\}$ dans $V(\Gamma)$ reste dans $V(\widehat{\Gamma})$. De là découle le point 3.

Supposons maintenant $r \geq 3$. On effectue l'opération précédente avec S_{r-1} et S_r. On obtient ainsi deux nouveaux générateurs S'_{r-1} et S'_r vérifiant les trois points ci-dessus. On recommence alors avec S_{r-2} et S'_{r-1}, et ainsi de suite jusqu'à obtenir une famille $S'_1, \ldots, S'_r$ vérifiant les conditions voulues.

Le graphe $\widehat{\Gamma}$ vérifiant (1), (2) et (3) étant ainsi construit, on définit de nouveaux générateurs $S''_k = S'_k - (p'_k/p'_1)S'_1$ dans A, pour tout $k \geq 2$, en notant que $p'_k/p'_1 \in \mathbb{Z}$. Par construction X commute à $S''_2, \ldots, S''_r$. Comme ci-dessus, on a une nouvelle famille de générateurs graphiques, associés à un nouveau graphe $\widetilde{\Gamma}$. On note que, à cause du point (3) vérifié par les S'_i, on a $\sharp\mathcal{W}(\widetilde{\Gamma}) \leq \sharp\mathcal{W}(\Gamma)$ et $\mathcal{V}(\widetilde{\Gamma})$ contient Γ_o.

Etape 2. On suppose donc que X n'est sommet dans $\widetilde{\Gamma}$ que d'une arête de Weyl, de poids non nul p. Soit Y l'autre sommet de cette arête. Si, du fait des manipulations effectuées à l'étape 1, Y n'est plus rattaché à aucune autre arête de Weyl de poids non nul (cette situation ne pouvait pas être la situation initiale puisqu'on a supposé $X \notin \mathcal{V}(\Gamma)$), on pose $\Gamma' = \widetilde{\Gamma}$ et on passe à l'étape 3.

Sinon, on a partiellement le schéma suivant :

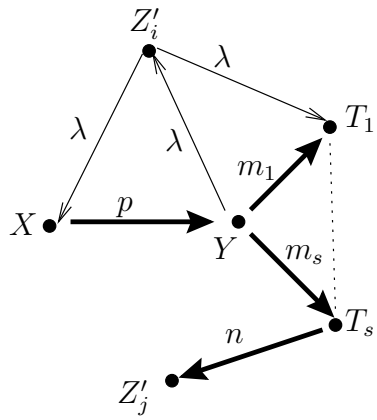

Quitte à remplacer X par $p^{-1}X$, on peut supposer que $p = 1$. Changeons la notation des sommets de $\widetilde{\Gamma}$. Le sommet Y est lié par des arêtes de Weyl de poids non nul à X et à des sommets $T_1, \ldots, T_s$. Quitte à remplacer $\widetilde{\Gamma}$ par un graphe équivalent, on peut supposer que les arêtes de Weyl sont orientées de Y vers $T_1, \ldots, T_s$. Notons alors $m_1, \ldots, m_s$ le poids de ces arêtes. Notons $Z'_1, \ldots, Z'_r$ les sommets restants. Comme précédemment $\mathcal{V}(\widetilde{\Gamma})$, et donc Γ_o sont inclus dans $\{Z_1, \ldots, Z_t\}$. On réitère alors avec Y ce qui a été fait pour X à la fin de l'étape 1, en posant $T'_i = T_i + m_i X$ pour tout i, ce qui donne une nouvelle famille $(X, Y, T'_1, \ldots, T'_s, Z_1, \ldots, Z_r)$ de générateurs graphiques pour $\mathcal{A}(\Gamma)$, tels que X ne soit lié par une arête de Weyl qu'à Y et Y qu'à X. Notons Γ' le graphe qW admissible qui leur est associé. Comme précédemment, on a

$$\sharp\mathcal{W}(\Gamma') \leq \sharp\mathcal{W}(\widetilde{\Gamma}), \quad \text{et} \quad [Z'_j \in \mathcal{V}(\Gamma') \iff Z'_j \in \mathcal{V}(\widetilde{\Gamma})].$$

Etape 3. De tout ce qui précède il découle que $\{X, Y\} \in V(\Gamma')$, et les sommets de Γ_o (c'est-à-dire les sommets initialement dans $\mathcal{V}(\Gamma)$) sont encore dans $\mathcal{V}(\Gamma')$. On a donc $\sharp\mathcal{V}(\Gamma') \geq \sharp\mathcal{V}(\Gamma) + 2 > \sharp\mathcal{V}(\Gamma)$. Par ailleurs on s'est assuré que l'on avait $\sharp\mathcal{W}(\Gamma') \leq \sharp\mathcal{W}(\widetilde{\Gamma}) \leq \sharp\mathcal{W}(\Gamma)$. Ainsi le lemme est démontré. □

Lemme 2.3.4 *Soit Γ un graphe admissible de sommets $X_1, \ldots, X_N$. Alors il existe une famille $(Y_1, \ldots, Y_N)$ de générateurs graphiques de $\mathcal{A}(\Gamma)$, tels que le graphe qW admissible Γ' associé à $(Y_1, \ldots, Y_N)$ vérifie $\mathcal{V}(\Gamma') = \mathcal{W}(\Gamma')$. Ainsi, tout sommet de Γ' est sommet d'*au plus *une arête de Weyl de poids non nul.*

Preuve. On raisonne par récurrence sur le cardinal de $\mathcal{W}(\Gamma) \setminus \mathcal{V}(\Gamma)$, à l'aide du lemme 2.3.3. □

Théorème 2.3.5 *Soit Γ un graphe qW admissible à N sommets. Alors il existe deux entiers $n \geq 1$ et $0 \leq r \leq n$ vérifiant $N = n + r$, et une matrice multiplicativement antisymétrique $\Lambda \in M_n(k^*)$ tels que $N = n + r$ et l'algèbre $\mathcal{A}(\Gamma)$ est k-isomorphe à l'algèbre $S^{\Lambda}_{n,r}(k)$.*

Preuve. On peut sans restriction supposer que le graphe Γ vérifie les conclusions du lemme 2.3.4. Il est clair par ailleurs (voir le point 1 de la définition 2.1.2) que l'on peut aussi supposer que Γ ne contient aucune arête de Weyl de poids nul. Soit alors r le nombre d'arêtes de Weyl de Γ. Pour chaque $i \leq r$ notons X_i et Y_i la source et le but de la $i^{\text{ème}}$ arête de Weyl, et p_i le poids de cette arête. Par les conclusions du lemme 2.3.4 les sommets $X_1, Y_1, \ldots, X_r, Y_r$ sont tous distincts. En remplaçant X_i par $p_i^{-1}X_i$, on peut supposer sans perte de généralité que toutes les arêtes de Weyl sont de poids 1. Posons $n = N - r$, et notons $Y_{r+1}, \ldots, Y_n$ les sommets de Γ qui ne sont ni des X_i, ni des Y_i pour $1 \leq i \leq r$. L'algèbre $\mathcal{A}(\Gamma)$ apparaît alors comme l'algèbre engendrée sur k par $X_1, Y_1, \ldots, X_r, Y_r, Y_{r+1}, \ldots, Y_n$ avec les relations données en 1.1.2, où les coefficients $\lambda_{i,j}$ sont donnés par le poids de l'arête quantique liant Y_i à Y_j pour tous $1 \leq i, j \leq n$. On conclut que $\mathcal{A}(\Gamma)$ est k-isomorphe à $S^{\Lambda}_{n,r}(k)$. $\square$

Remarque. Soit Γ un graphe qW admissible à N sommets $X_1, \ldots, X_N$. Notons $P(\Gamma) = (p_{i,j})$ la matrice antisymétrique de $M_N(\mathbb{Z})$ dont le $(i,j)^{\text{ème}}$ coefficient vaut 0 si X_i et X_j sont reliés par une arête quantique ou par aucune arête, et le poids de l'arête de Weyl de X_i vers X_j (on peut toujours choisir l'orientation d'une arête de Weyl grâce au point 3 de la définition 2.1.2) sinon. On peut observer au cours des démonstrations des lemmes 2.3.2, 2.3.3 et 2.3.4, que les changements de générateurs graphiques effectués à chaque étape correspondent à des opérations élémentaires sur la matrice $P(\Gamma)$. On ne change donc pas son rang. Puisque $P(\Gamma')$ est clairement une matrice antisymétrique de rang $2r$, on retiendra que l'entier r intervenant dans le théorème 2.3.5 n'est autre que la moitié du rang de la matrice $P(\Gamma)$ associée au graphe de départ (et n est alors donné par $n = N - r$, où N est le nombre de sommets de Γ).

Les entiers n et r du théorème 2.3.5 sont donc déterminés de façon unique et s'interprètent non seulement en terme d'isomorphisme des algèbres $S^{\Lambda}_{n,r}(k)$, mais même d'équivalence rationnelle, comme on va le voir à la section 5.

3 Premiers invariants des corps de fonctions rationnelles mixtes croisés.

3.1 Présentation eulérienne des corps $\mathcal{F}rac(S^{\Lambda}_{n,r}(k))$.

3.1.1 Notations.

Soient $n \geq 1$ et $0 \leq r \leq n$ deux entiers, et $\Lambda \in M_n(k^*)$ multiplicativement antisymétrique. Dans l'algèbre polynomiale mixte croisée $S^{\Lambda}_{n,r}(k)$ définie en

1.1.2, on définit les éléments :

$$w_i = y_i x_i \quad \text{pour tout} \quad 1 \leq i \leq r.$$

On a alors :

$$[w_i, w_j] = 0 \quad \forall i, j \in \{1, \ldots, r\},$$
$$[w_i, y_k] = \delta_{i,k} y_k \quad \forall k \in \{1, \ldots, n\},\ \forall i \in \{1, \ldots, r\}.$$

Notons $T^{\Lambda}_{n,r}(k)$ la sous-algèbre de $S^{\Lambda}_{n,r}(k)$ engendrée par $w_1, \ldots, w_r, y_1, \ldots, y_r$, y_{r+1},...,y_n, et $\widehat{T}^{\Lambda}_{n,r}(k)$ le localisé de $T^{\Lambda}_{n,r}(k)$ en la partie multiplicative engendrée par les éléments normalisants $y_1, \ldots, y_n$. L'algèbre $T^{\Lambda}_{n,r}(k)$ [resp. $\widehat{T}^{\Lambda}_{n,r}(k)$] s'interprète aisément comme la sous-algèbre de $\mathrm{End}(\mathcal{O}_{\Lambda}(k^n))$ [resp. de $\mathrm{End}(\mathcal{O}_{\Lambda}(k^{*n}))$] engendrée par les opérateurs de multiplication à gauche par les générateurs $y_1, \ldots, y_n$ [resp. et leurs inverses] et les dérivées eulériennes $d_1, \ldots, d_r$ (qui sont des vraies dérivations), définies par $d_i(y_k) = \delta_{i,k} y_k$ pour tous $1 \leq k \leq n$, $1 \leq i \leq r$.

Il est facile de vérifier que $T^{\Lambda}_{n,r}(k)$ est l'extension de Ore itérée :

$$T^{\Lambda}_{n,r}(k) = k[w_1, \ldots, w_r][y_1; \sigma_1] \ldots [y_n; \sigma_n],$$

où chaque automorphisme σ_i de $k[w_1, \ldots, w_r][y_1; \sigma_1] \ldots [y_{i-1}; \sigma_{i-1}]$ est défini par :

$$\sigma_i(w_j) = w_j - \delta_{i,j} \quad \text{pour tout } 1 \leq j \leq r,$$
$$\sigma_i(y_j) = \lambda_{i,j} y_j \quad \text{pour tout } 1 \leq j < i.$$

En particulier on a :

$$T^{\Lambda}_{n,r}(k) \subset S^{\Lambda}_{n,r}(k) \subset \widehat{T}^{\Lambda}_{n,r}(k),$$

et les algèbres $T^{\Lambda}_{n,r}(k)$, $\widehat{T}^{\Lambda}_{n,r}(k)$ et $S^{\Lambda}_{n,r}(k)$ sont rationnellement équivalentes :

$$\mathcal{F}\mathrm{rac}(T^{\Lambda}_{n,r}(k)) = \mathcal{F}\mathrm{rac}(\widehat{T}^{\Lambda}_{n,r}(k)) = \mathcal{F}\mathrm{rac}(S^{\Lambda}_{n,r}(k)) =$$
$$k(w_1, \ldots, w_r)(y_1; \sigma_1) \ldots (y_n; \sigma_n),$$

où $\sigma_1, \ldots, \sigma_n$ désignent encore les prolongements des automorphismes ci-dessus au corps de fractions des algèbres considérées. Les corps de fonctions rationnelles mixtes croisés apparaissent ainsi comme des exemples des classes de corps introduits par V.A. Artamonov dans [5] et notés $D_{Q,\alpha}(y_1, \ldots, y_n)$ (il suffit, avec les notations de [5], de prendre $D = k(w_1, \ldots, w_r)$, $Q = \Lambda$, et α_i est la restiction de σ_i à D).

Lorsque $n = 2$, la matrice Λ est paramétrée par un seul scalaire λ. On notera alors $T^{\lambda}_{2,r}(k)$ pour $T^{\Lambda}_{2,r}(k)$.

Pour $n = r = 1$, on notera $U(k)$ l'algèbre $T^{(1)}_{1,1}(k)$, engendrée par deux générateurs w, y vérifiant $[w, y] = y$. C'est l'algèbre enveloppante de l'algèbre de Lie résoluble non abélienne de dimension 2 sur k. Il est clair que son corps de fractions $\mathcal{F}\mathrm{rac}(U(k))$ est le corps de Weyl $\mathcal{D}_1(k) = \mathcal{F}\mathrm{rac}(A_1(k))$.

3.1.2 Arêtes eulériennes.

Afin de pouvoir représenter par un graphe les relations de commutation des algèbres $T^{\Lambda}_{n,r}(k)$ (et donc aussi des corps $\mathcal{F}\mathrm{rac}(S^{\Lambda}_{n,r}(k))$ avec les nouveaux générateurs $w_1, \ldots, w_r, y_1, \ldots, y_n$) on introduit une nouvelle convention :

Une arête épaisse barrée

entre deux sommets y et w signifie que, dans l'algèbre que l'on considère, on a entre les générateurs y et w la relation de commutation : $[w, y] = y$, c'est-à-dire encore $yw = (w - 1)y$. Nous appellerons arêtes eulériennes les arêtes de ce type (cette terminologie est motivée par le fait que dans un anneau de polynômes c'est ce type de relations que vérifie une dérivation eulérienne par rapport à une variable avec l'opérateur de multiplication par cette variable).

3.1.3 Remarques.

• De même que nous avons montré ci-dessus au paragraphe 2.3 que les algèbres définies par générateurs et relations à partir d'un graphe qW, sont exactement les algèbres polynomiales mixtes croisées, se pose le problème de savoir quelles sont les algèbres correspondant aux graphes composés uniquement d'arêtes quantiques et d'arêtes eulériennes. Ce problème est résolu au chapitre 7 de [28] avec la définition d'algèbre polynomiale "mixte eulérienne".

• L'un des intérêts de cette présentation des corps $\mathcal{F}\mathrm{rac}(S^{\Lambda}_{n,r}(k))$ par des graphes eulériens est qu'elle permet de plonger les corps de fonctions rationnelles mixtes croisés dans des corps de séries de Malcev-Neuman, comme nous allons le voir au paragraphe suivant.

3.2 Plongements dans des corps de séries croisées de Malcev-Neuman.

Notations. En reprenant les notations du paragraphe 3.1, on fixe un corps de fonctions rationnelles mixte croisé :

$$\mathcal{F}\mathrm{rac}(S^{\Lambda}_{n,r}(k)) = k(w_1, \ldots, w_r)(y_1; \sigma_1) \ldots (y_n; \sigma_n).$$

On notera $k(w_1, \ldots, \widehat{w_i}, \ldots, w_r)$ le sous-corps de $k(w_1, \ldots, w_r)$ engendré sur k par les variables w_j pour $1 \leq j \leq r$ et $j \neq i$.

On va construire un plongement de $\mathcal{F}\mathrm{rac}(S^{\Lambda}_{n,r}(k))$ dans un corps de séries de Malcev-Neuman adapté, suivant en cela une méthode désormais classique (on pourra en particulier se référer à l'article [10] de G. Cauchon, très complet et explicite sur la question ; voir aussi [3] et [28]).

3.2.1 Première étape.

Notons $s_i = w_i^{-1}$ pour tout $1 \leq i \leq r$, de sorte que $D = k(w_1, \ldots, w_r)$ se plonge dans le corps de séries de Malcev-Neuman commutatif $K = k_M[[s_1, \ldots, s_r]]$. Les éléments de K sont des séries $T = \sum\limits_{a \in \mathbb{Z}^r} T(a)s^a$, avec $T(a) \in k$, dont le support est une partie bien ordonnée de $\mathbb{Z}^r$. Pour un tel $T \in K^*$, on pose $\mu(T) = \min(\mathrm{supp}(T)) \in \mathbb{Z}^r$, et $\Psi(T) = T(\mu(T)) \in k^*$. On vérifie facilement que :

$$\mu(T_1T_2) = \mu(T_1) + \mu(T_2), \text{ et } \ \Psi(T_1T_2) = \Psi(T_1)\Psi(T_2).$$

En particulier $\mu(T^{-1}) = -\mu(T)$ et $\Psi(T^{-1}) = \Psi(T)^{-1}$. Pour tout i, $1 \leq i \leq r$, on note $\mu_i(T)$ la $i^{\text{ème}}$ coordonnée de $\mu(T)$. Le r-uplet $\mu(T)$ est la valuation de T. Le scalaire non-nul $\Psi(T)$ est le coefficient du terme de valuation minimale de T. Les restrictions à $D = k(w_1, \ldots, w_r)$ des automorphismes $\sigma_1, \ldots, \sigma_r$ définis ci-dessus se prolongent en des automorphismes de K encore notés $\sigma_1, \ldots, \sigma_r$ en posant $\sigma_i(s_i) = \sum\limits_{k \geq 1} s_i^k$ et $\sigma_i(s_j) = s_j$ si $j \neq i$.

Lemme. *(1)* $\forall\ a = (a_1, \ldots, a_r) \in \mathbb{Z}^r,\ \forall\ T \in K^*$,
$\Psi(\sigma_1^{a_1} \circ \ldots \sigma_r^{a_r}(T)) = \Psi(T)$ *;*

(2) soit $T \in D^*$, et supposons qu'il existe $\alpha \in k^*$ tel que $\sigma_i(T) = \alpha T$. Alors $\alpha = 1$ et T appartient au corps $k(w_1, \ldots, \widehat{w_i}, \ldots, w_r)$.

Preuve. 1. C'est clair par définition des σ_i.

2. Par le 1 on a $\Psi(\sigma_i(T)) = \Psi(T)$ donc $\alpha = 1$, et $\sigma_i(T) = T$. Dans l'extension $k(w_1, \ldots, \widehat{w_i}, \ldots, w_r)((s_i))$ de D, on peut écrire T sous la forme $T = \sum\limits_{a \geq a_0} P(a)s_i^a$, avec $P(a) \in k(s_1, \ldots, \widehat{s_i}, \ldots, s_r)$. Alors :

$$T = P(a_0)s_i^{a_0} + P(a_0+1)s_i^{a_0+1} + \ldots,$$

$$\text{et } \ \sigma_i(T) = P(a_0)s_i^{a_0} + (P(a_0+1) + a_0P(a_0))s_i^{a_0+1} + \ldots.$$

Donc $a_0 = 0$ et T est de valuation nulle en s_i dans $k(w_1, \ldots, \widehat{w_i}, \ldots, w_r)((s_i))$. On recommence alors avec $T' = T - P(0)$, et nécessairement $T' = 0$, c'est-à-dire que $T = P(0) \in k(w_1, \ldots, \widehat{w_i}, \ldots, w_r)$. $\square$

3.2.2 Deuxième étape.

On définit un morphisme de groupes

$$\sigma : \mathbb{Z}^n \to \mathrm{Aut}(K) \text{ par } \sigma^{(a_1,\ldots,a_n)} = \sigma_1^{a_1} \circ \ldots \sigma_r^{a_r}.$$

Notons que si $r < n$ les coefficients $a_{r+1}, \ldots, a_n$ de a ne jouent aucun rôle dans la définition ci-dessus. L'application $\alpha : \mathbb{Z}^n \times \mathbb{Z}^n \to k^*$ définie par

$$\alpha(a, b) = \prod_{1 \leq i < j \leq n} \lambda_{i,j}^{a_i b_j}$$

est un 2-cocycle.

Le corps de fonctions rationnelles $\mathcal{F}\mathrm{rac}(S_{n,r}^{\Lambda}(k))$ se plonge alors dans le corps de séries croisées $\mathbb{F} = K_M[[\mathbb{Z}^n; \sigma, \alpha]]$ défini comme suit. Les éléments de $\mathbb{F}$ sont des séries $X = \sum_{a \in \mathbb{Z}^n} X(a) y^a$, avec $X(a) \in K$, dont le support est une partie bien ordonnée de $\mathbb{Z}^n$. Pour un tel $X \in \mathbb{F}^*$, on pose $\nu(X) = \min(\mathrm{supp}(X)) \in \mathbb{Z}^n$ la valuation de X, et $\Phi(T) = x(\nu(x)) \in K^*$ le coefficient de son terme de valuation minimale. A nouveau on vérifie que :

$$\nu(T_1 T_2) = \nu(T_1) + \nu(T_2), \text{ et } \Phi(T_1 T_2) = \Phi(T_1)\sigma^{\nu(T_1)}(\Phi(T_2))\alpha(\nu(T_1), \nu(T_2)).$$

En particulier $\nu(T^{-1}) = -\nu(T)$ et $\Phi(T^{-1}) = \sigma^{-\nu(T)}(\Phi(T)^{-1})\alpha(\nu(T), \nu(T))$.

Le plongement ci-dessus va nous permettre de déterminer pour les corps de fonctions rationnelles mixtes croisés les premiers invariants rationnels : le centre, le groupe G défini dans [2], puis dans la section suivante un nouvel invariant : le sous-tore quantique maximal simple.

3.3 Centre des corps de fonctions rationnelles mixtes croisés.

Pour une k-algèbre A on désigne par $\mathcal{Z}(A)$ le centre de A.

Proposition 3.3.1 *Soient $n \geq 1$ et $0 \leq r \leq n$ deux entiers, et $\Lambda \in M_n(k^*)$ multiplicativement antisymétrique. Le centre du corps $\mathcal{F}rac(S_{n,r}^{\Lambda}(k))$ est l'intersection du centre du sous-corps engendré par $y_1, \ldots, y_n$ avec le sous-corps engendré par $y_{r+1}, \ldots, y_n$:*

$$\mathcal{Z}(\mathcal{F}rac(S_{n,r}^{\Lambda}(k))) = \mathcal{Z}(k_{\Lambda}(y_1, \ldots, y_n)) \cap k_{\widetilde{\Lambda}}(y_{r+1}, \ldots, y_n),$$

où $\widetilde{\Lambda}$ est la matrice extraite de Λ en éliminant les r premières lignes et colonnes.

Preuve. Soit $X = \sum_{a\in\mathbb{Z}^n} X(a)y_1^{a_1}\dots y_n^{a_n}$ un élément du centre de $\mathcal{F}\mathrm{rac}(S^{\Lambda}_{n,r}(k))$, développé dans le sous-corps $D_M[[\mathbb{Z}^n;\sigma,\alpha]]$ de $\mathbb{F}$. Pour tout i, $1\le i\le r$, on a : $[w_i, X] = 0$. Or :

$$[w_i, X] = \sum_a X(a)[w_i, y_1^{a_1}\dots y_n^{a_n}] = \sum_a X(a)a_i y_1^{a_1}\dots y_n^{a_n}.$$

Donc pour tout $i\le r$, X ne contient dans son développement aucun monôme avec un exposant non-nul en y_i. Ainsi $X = \sum_a X(a)y_{r+1}^{a_{r+1}}\dots y_n^{a_n}$.

De même, pour tout i, $1\le i\le r$, on a : $[y_i, X] = 0$. Or :

$$[y_i, X] = \sum_a \left(\sigma_i(X(a)) - \prod_{j\ge r+1}\lambda_{j,i}^{a_j}X(a)\right) y_i y_{r+1}^{a_{r+1}}\dots y_n^{a_n}.$$

Donc $\sigma_i(X(a)) = \prod_{j\ge r+1}\lambda_{j,i}^{a_j}X(a)$ pour tout $a\in\mathbb{Z}^n$, d'où l'on déduit par le lemme 3.2.1 d'une part que :

$$X(a)\neq 0 \Rightarrow \prod_{j\ge r+1}\lambda_{j,i}^{a_j} = 1,$$

c'est-à-dire que $y_{r+1}^{a_{r+1}}\dots y_n^{a_n}$ commute à y_i dès que $X(a)\neq 0$, et d'autre part que :

$$X(a)\in k(w_1,\dots,\widehat{w_i},\dots,w_r) \text{ pour tout } a\in\mathbb{Z}^n.$$

Puisque ceci est vrai pour tout $i\in\{1,\dots,r\}$, on a $X(a)\in k$ pour tout $a\in\mathbb{Z}^n$. Donc $\mathcal{Z}(\mathcal{F}\mathrm{rac}(S^{\Lambda}_{n,r}(k)))$ est inclus dans le corps de séries $k_M[[y_{r+1},\dots,y_n;\alpha]]$. Par le théorème 1.10 de [10], on en déduit que les éléments centraux de $\mathcal{F}\mathrm{rac}(S^{\Lambda}_{n,r}(k))$ sont dans $k(y_{r+1},\dots,y_n;\alpha)$. Par ailleurs un élément de ce centre doit commuter à tous les y_i, et donc appartenir à

$$\mathcal{Z}(k_\Lambda(y_1,\dots,y_n))\cap k_{\widetilde{\Lambda}}(y_{r+1},\dots,y_n).$$

La réciproque est évidente. □

3.4 Invariants E et G.

Les deux invariants suivants sont définis dans [2] afin de séparer notamment les corps de Weyl des corps de fonctions rationnelles quantiques.

Définition 3.4.1 *Pour toute k-algèbre A, on note :*

- $G(A) = (A^*)'\cap k^*$ *la trace sur* k^* *du groupe dérivé du groupe multiplicatif* A^* *des unités de* A *;*

– $E(A) = [A, A] \cap k$ *la trace sur* k *de l'algèbre de Lie dérivée de* A.

Remarque. L'espace $E(A)$ ne peut que valoir k ou $\{0\}$, suivant la présence ou pas dans A de deux éléments x, y tels que $[x, y] = 1$.

Proposition 3.4.2 *Soient* $n \geq 1$ *et* $0 \leq r \leq n$ *deux entiers, et* $\Lambda \in M_n(k^*)$ *multiplicativement antisymétrique. Alors le corps* $\mathcal{F}\mathrm{rac}(S^{\Lambda}_{n,r}(k))$ *vérifie les deux points suivants :*

(1) $G(\mathcal{F}\mathrm{rac}(S^{\Lambda}_{n,r}(k))) = \langle \lambda_{i,j} \rangle$, *le sous-groupe de* k^* *engendré par les* $\lambda_{i,j}$ *;*

(2) $E(\mathcal{F}\mathrm{rac}(S^{\Lambda}_{n,r}(k))) = k$ *dès que* $r \geq 1$, *et* $E(\mathcal{F}rac(S^{\Lambda}_{n,0}(k))) = 0$.

Preuve. 1. Il est clair que pour tout couple (i, j) on a $y_i y_j y_i^{-1} y_j^{-1} = \lambda_{i,j}$, et donc $\langle \lambda_{i,j} \rangle$ est inclus dans $G(\mathcal{F}\mathrm{rac}(S^{\Lambda}_{n,r}(k)))$.

Réciproquement, soit $XYX^{-1}Y^{-1}$ un commutateur dans $\mathcal{F}\mathrm{rac}(S^{\Lambda}_{n,r}(k))$. On calcule

$$\Phi(XYX^{-1}Y^{-1}) = \Phi(XYX^{-1})\sigma^{\nu(XYX^{-1})}(\Phi(Y^{-1}))\alpha(\nu(XYX^{-1}), \nu(Y^{-1})).$$

En réitérant, et sachant que

$$\Phi(X^{-1}) = \alpha(\nu(X), \nu(X))\sigma^{-\nu(X)}(\Phi(X)^{-1}),$$

on obtient :

$$\Phi(XYX^{-1}Y^{-1}) = \epsilon\Phi(X)\sigma^{\nu(X)}(\Phi(Y))\sigma^{\nu(Y)}(\Phi(X)^{-1})\phi(Y)^{-1}, \tag{1}$$

avec

$$\epsilon = \alpha(\nu(Y), \nu(Y^{-1}))\alpha(\nu(XY), \nu(X^{-1}))\times \\ \alpha(\nu(X), \nu(Y))\alpha(\nu(X), \nu(X))\alpha(\nu(Y), \nu(Y)).$$

On applique alors Ψ à l'égalité (1). Rappelons que pour tout $T \in K$ et tout $a \in \mathbb{Z}^n$ on a $\Psi(T^{-1}) = \Psi(T)^{-1}$ et $\Psi(\sigma^a(T)) = \Psi(T)$. En remarquant que α est à valeurs dans $\langle \lambda_{i,j} \rangle$, on obtient que $\Psi \circ \Phi(XYX^{-1}Y^{-1}) \in \langle \lambda_{i,j} \rangle$. On conclut, en notant que $\Psi(\Phi(X_1X_2)) = \alpha(\nu(X_1), \nu(X_2))\Psi(\Phi(X_1))\Psi(\Phi(X_2))$ pour tous $X_1, X_2 \in \mathbb{F}^*$, que $G(\mathcal{F}\mathrm{rac}(S^{\Lambda}_{n,r}(k))) \subset \langle \lambda_{i,j} \rangle$.

2. Il est clair que si $r \geq 1$, alors $E(\mathcal{F}\mathrm{rac}(S^{\Lambda}_{n,r}(k))) = k$. Si $r = 0$, alors $\mathcal{F}\mathrm{rac}(S^{\Lambda}_{n,0}(k))$ est un corps de fonctions rationnelles quantique, et le résultat est énoncé au théorème 3.10 de [2]. □

Remarque. Avec la terminologie introduite en 1.2, le cas purement classique est celui où l'invariant G est trivial, et le cas purement quantique celui où E est trivial.

4 Un invariant "quantique" : le sous-tore quantique maximal simple.

4.1 Propriétés préliminaires.

La définition d'un tore quantique $k_\Lambda[y_1^{\pm 1}, \dots, y_n^{\pm 1}]$ a été rappelée au point 3 de la définition 1.1.1. Il s'agit d'une algèbre de polynômes de Laurent non-commutatifs, de dimension de Gelfand-Kirillov égale à n (voir le point 5.1 de [23]). J.C. McConnell et J.J. Pettit ont établi dans [23] les caractérisations suivantes de la simplicité d'un tore quantique.

Proposition 4.1.1 *Soient $n \geq 1$, et $\Lambda \in M_n(k^*)$ multiplicativement antisymétrique. Pour le tore quantique $\mathcal{O}_\Lambda(k^{*n})$, les conditions suivantes sont équivalentes :*

(1) $\mathcal{O}_\Lambda(k^{*n})$ est simple ;

(2) le centre de $\mathcal{O}_\Lambda(k^{*n})$ est réduit à k ;

(3) il n'existe pas de $\alpha \in \mathbb{Z}^n \setminus \{0\}$, tel que

$$\forall j,\ 1 \leq j \leq n,\ \lambda_{1,j}^{\alpha_1} \dots \lambda_{n,j}^{\alpha_n} = 1.$$

Preuve. C'est la proposition 1.3 de [23]. □

Les propriétés suivantes concernant les morphismes de k-algèbres entre tores quantiques apparaissent déjà en partie dans [23] et [6], et figurent sous la forme suivante dans [27]. Afin de fixer les notations nous les rappelons ici.

Notation. Soient $\Lambda \in M_n(k^*)$ et $\Lambda' \in M_{n'}(k^*)$ multiplicativement antisymétriques, et les tores quantiques associés $\mathcal{O}_\Lambda(k^{*n}) = k_\Lambda[y_1^{\pm 1}, \dots, y_n^{\pm 1}]$ et $\mathcal{O}_{\Lambda'}(k^{*n'}) = k_{\Lambda'}[y_1'^{\pm 1}, \dots, y_{n'}'^{\pm 1}]$. Soit un morphisme $\Phi : \mathcal{O}_\Lambda(k^{*n}) \to \mathcal{O}_{\Lambda'}(k^{*n'})$. L'élément $\Phi(y_i)$ est inversible dans $\mathcal{O}_{\Lambda'}(k^{*n'})$ pour tout $i \in \{1, \dots, n\}$, c'est donc un monôme $\alpha_i (y_1')^{h_{1,i}} \dots (y_{n'}')^{h_{n',i}}$, où $\alpha_i \in k^*$, et $h_{k,i} \in \mathbb{Z}$. On note alors $H_{y,y'}(\Phi)$ la matrice $(h_{i,j}) \in M_{n',n}(\mathbb{Z})$.

Proposition 4.1.2 *Soient $n, n', n'' \geq 1$ trois entiers.*

(1) Soient $\Lambda \in M_n(k^*)$ et $\Lambda' \in M_{n'}(k^*)$ deux matrices multiplicativement antisymétriques, et les tores quantiques associés

$$\mathcal{O}_\Lambda(k^{*n}) = k_\Lambda[y_1^{\pm 1}, \dots, y_n^{\pm 1}] \quad et \quad \mathcal{O}_{\Lambda'}(k^{*n'}) = k_{\Lambda'}[y_1'^{\pm 1}, \dots, y_{n'}'^{\pm 1}].$$

Soit $\Phi : \mathcal{O}_\Lambda(k^{*n}) \to \mathcal{O}_{\Lambda'}(k^{*n'})$ un morphisme. Notons $H_{y,y'}(\Phi) = (h_{i,j})$. Alors on a :

$$\forall i, j,\ 1 \leq i, j \leq n, \qquad \lambda_{i,j} = \prod_{1 \leq k,t \leq n'} \lambda_{k,t}'^{\,h_{k,i} h_{t,j}}. \tag{2}$$

Réciproquement, étant donnée une matrice $H = (h_{i,j}) \in M_{n',n}(\mathbb{Z})$ satisfaisant les équations (2), il existe un unique morphisme Φ de $\mathcal{O}_\Lambda(k^{*n})$ dans $\mathcal{O}_{\Lambda'}(k^{*n'})$ tel que $\Phi(y_i) = {y'_1}^{h_{1,i}} \dots {y'_n}^{h_{n,i}}$. Il vérifie $H = H_{y,y'}(\Phi)$.

(2) *Soient $\Lambda \in M_n(k^*)$, $\Lambda' \in M_{n'}(k^*)$, et $\Lambda'' \in M_{n''}(k^*)$ trois matrices multiplicativement antisymétriques, et les trois tores quantiques associés*

$$\mathcal{O}_\Lambda(k^{*n}) = k_\Lambda[y_1^{\pm 1}, \dots, y_n^{\pm 1}], \quad \mathcal{O}_{\Lambda'}(k^{*n'}) = k_{\Lambda'}[{y'_1}^{\pm 1}, \dots, {y'}_{n'}^{\pm 1}],$$

$$\text{et} \;\; \mathcal{O}_{\Lambda''}(k^{*n''}) = k_{\Lambda''}[{y''_1}^{\pm 1}, \dots, {y''}_{n''}^{\pm 1}].$$

Considérons en outre deux morphismes de k-algèbres

$$\Phi : \mathcal{O}_\Lambda(k^{*n}) \to \mathcal{O}_{\Lambda'}(k^{*n'}) \;\; \text{et} \;\; \Phi' : \mathcal{O}_{\Lambda'}(k^{*n'}) \to \mathcal{O}_{\Lambda''}(k^{*n''}).$$

Alors :

$$H_{y,y''}(\Phi' \circ \Phi) = H_{y',y''}(\Phi') H_{y,y'}(\Phi),$$

au sens du produit usuel des matrices.

(3) *Soient $\Lambda \in M_n(k^*)$ et $\Lambda' \in M_{n'}(k^*)$ deux matrices multiplicativement antisymétriques, et les tores quantiques associés*

$$\mathcal{O}_\Lambda(k^{*n}) = k_\Lambda[y_1^{\pm 1}, \dots, y_n^{\pm 1}] \;\; \text{et} \;\; \mathcal{O}_{\Lambda'}(k^{*n'}) = k_{\Lambda'}[{y'_1}^{\pm 1}, \dots, {y'_{n'}}^{\pm 1}].$$

Soit $\Phi : \mathcal{O}_\Lambda(k^{*n}) \to \mathcal{O}_{\Lambda'}(k^{*n'})$ un morphisme. Alors Φ est un isomorphisme si et seulement si $n = n'$ et $H_{y,y'}(\Phi) \in GL_n(\mathbb{Z})$.

(4) *En particulier, deux tores quantiques $\mathcal{O}_\Lambda(k^{*n})$ et $\mathcal{O}_{\Lambda'}(k^{*n})$ sont k-isomorphes si et seulement s'il existe une matrice $H \in GL_n(\mathbb{Z})$ vérifiant les relations (2).*

Preuve. Il s'agit des points (ii) à (v) du lemme 1.4 de [27]. □

Par ailleurs on démontre dans [27] le théorème suivant.

Théorème 4.1.3 *Soient $n \geq 1$ un entier, et $\Lambda \in M_n(k^*)$ multiplicativement antisymétrique. Supposons le tore quantique $\mathcal{O}_\Lambda(k^{*n})$ simple. Alors tout endomorphisme de $\mathcal{O}_\Lambda(k^{*n})$ est un automorphisme de $\mathcal{O}_\Lambda(k^{*n})$.*

Preuve. C'est le théorème 3.6 de [27]. □

4.2 Sous-tores quantiques maximaux.

Définition 4.2.1 *Soient $n \geq 1$ un entier, et $\Lambda \in M_n(k^*)$ une matrice multiplicativement antisymétrique. Soit A une k-algèbre. On dit que $\mathcal{O}_\Lambda(k^{*n})$ est*

un sous-tore quantique maximal de A si les deux conditions suivantes sont réalisées :

(1) il existe une sous-algèbre de A k-isomorphe à $\mathcal{O}_\Lambda(k^{*n})$;

(2) pour tout tore quantique $\mathcal{O}_M(k^{*m})$, avec $m \geq 1$ un entier et $M \in M_m(k^*)$ multiplicativement antisymétrique, s'il existe un morphisme d'algèbres

$$\phi : \mathcal{O}_M(k^{*m}) \to A,$$

alors il existe un morphisme $\widetilde{\phi} : \mathcal{O}_M(k^{*m}) \to \mathcal{O}_\Lambda(k^{*n})$.

Avec ces notations, le point 2 signifie que, si $\mathcal{O}_\Lambda(k^{*n})$ est un sous-tore quantique maximal de A, alors tout tore quantique admettant une image homomorphe dans A admet une image homomorphe dans $\mathcal{O}_\Lambda(k^{*n})$. En particulier, si $\mathcal{O}_\Lambda(k^{*n})$ est un sous-tore quantique maximal de A, alors tout tore quantique simple qui se plonge dans A se plonge dans $\mathcal{O}_\Lambda(k^{*n})$.

Remarques. • Un tore quantique est toujours sous-tore quantique maximal de lui-même.

• Un sous-tore quantique maximal n'est pas unique : par exemple, il est facile à partir de la proposition 4.1.2 de vérifier que le tore quantique multiparamétré $\mathcal{O}_\Lambda(k^{*3}) = k_\Lambda[y_1^{\pm 1}; y_2^{\pm 1}; y_3^{\pm 1}]$, avec $\Lambda = \begin{pmatrix} 1 & q & 1 \\ q^{-1} & 1 & 1 \\ 1 & 1 & 1 \end{pmatrix}$, admet au moins deux sous-tores quantiques maximaux : lui-même et le tore quantique $k_q[y_1^{\pm 1}, y_2^{\pm 1}]$. Par contre, le lemme suivant, basé sur le théorème 4.1.3, permet de démontrer qu'un sous-tore quantique maximal *simple*, quand il existe, est unique à k-isomorphisme près.

Lemme 4.2.2 *Soit $n \geq 1$ un entier. Soient $\Lambda, \Lambda' \in M_n(k^*)$ multiplicativement antisymétriques. Soient A et B deux k-algèbres. Supposons que $\mathcal{O}_\Lambda(k^{*n})$ est un sous-tore quantique maximal de A, et $\mathcal{O}_{\Lambda'}(k^{*n})$ un sous-tore quantique maximal de B. Si A et B sont k-isomorphes, et si $\mathcal{O}_\Lambda(k^{*n})$ est simple, alors $\mathcal{O}_\Lambda(k^{*n})$ et $\mathcal{O}_{\Lambda'}(k^{*n})$ sont k-isomorphes.*

Preuve. L'isomorphisme de A sur B induit un morphisme injectif ϕ de $\mathcal{O}_\Lambda(k^{*n})$ dans B, donc un morphisme $\widetilde{\phi}$ de $\mathcal{O}_\Lambda(k^{*n})$ dans $\mathcal{O}_{\Lambda'}(k^{*n})$. De même on a un morphisme $\widetilde{\psi}$ de $\mathcal{O}_{\Lambda'}(k^{*n})$ dans $\mathcal{O}_\Lambda(k^{*n})$. Donc $\widetilde{\psi} \circ \widetilde{\phi}$ est un endomorphisme de $\mathcal{O}_\Lambda(k^{*n})$. Puisque celui-ci est supposé simple, $\widetilde{\psi} \circ \widetilde{\phi}$ est un automorphisme de $\mathcal{O}_\Lambda(k^{*n})$ d'après le théorème 4.1.3. D'après la proposition 4.1.2 les matrices H et H' de $M_n(\mathbb{Z})$ associées à $\widetilde{\psi}$ et $\widetilde{\phi}$ ont donc leur produit dans $GL_n(\mathbb{Z})$, ce qui implique que $H \in GL_n(\mathbb{Z})$, et donc, toujours d'après la proposition 4.1.2, $\widetilde{\psi}$ est un isomorphisme. $\square$

Proposition 4.2.3 *Soient $n, n' \geq 1$ des entiers, et $\Lambda \in M_n(k^*)$ et $\Lambda' \in M_{n'}(k^*)$ deux matrices multiplicativement antisymétriques. Soient A et B deux k-algèbres. Si $\mathcal{O}_\Lambda(k^{*n})$ est un sous-tore quantique maximal* simple *de A, si $\mathcal{O}_{\Lambda'}(k^{*n'})$ est un sous-tore quantique maximal* simple *de B, et si A et B sont k-isomorphes, alors $n = n'$ et les tores quantiques $\mathcal{O}_\Lambda(k^{*n})$ et $\mathcal{O}_{\Lambda'}(k^{*n})$ sont k-isomorphes.*

Preuve. Comme dans la preuve du lemme 4.2.2, l'isomorphisme entre A et B induit deux morphismes $\widetilde{\phi}$ de $\mathcal{O}_\Lambda(k^{*n})$ dans $\mathcal{O}_{\Lambda'}(k^{*n'})$ et $\widetilde{\psi}$ de $\mathcal{O}_{\Lambda'}(k^{*n'})$ dans $\mathcal{O}_\Lambda(k^{*n})$. Mais puisque ces tores quantiques sont simples, les deux morphismes considérés sont injectifs, d'où il découle que ces deux tores quantiques ont la même GK-dimension, c'est-à-dire que $n = n'$. On conclut alors à l'aide du lemme 4.2.2. □

Corollaire 4.2.4 *Si une k-algèbre admet un sous-tore quantique maximal* simple*, alors ce dernier est unique à isomorphisme près.*

Preuve. On applique la proposition précédente avec $A = B$. □

A la suite de la remarque faite après la définition 4.2.1, notons qu'un tore quantique simple est toujours un sous-tore quantique maximal simple de lui-même. Rappelons également qu'un isomorphisme entre deux tores quantiques s'interprète grâce à la proposition 4.1.2 comme une condition sur les coefficients des matrices de paramétrisation.

Remarque. Comme le montre la proposition suivante, une k-algèbre n'admet pas toujours un sous-tore quantique maximal simple.

Proposition 4.2.5 (Contre-exemple) *Soit $q \in k^*$ non racine de l'unité. Soit $T = \mathcal{O}_\Lambda(k^{*4})$, paramétré par*

$$\Lambda = \begin{pmatrix} 1 & q & 1 & 1 \\ q^{-1} & 1 & 1 & 1 \\ 1 & 1 & 1 & -1 \\ 1 & 1 & -1 & 1 \end{pmatrix}.$$

Alors T n'admet pas de sous-tore quantique maximal simple.

Preuve. Supposons que D admette un sous-tore quantique maximal simple S. D'après la remarque suivant la définition 4.2.1, S doit contenir les tores quantiques simples $\mathcal{O}_q(k^{*2})$ et $\mathcal{O}_{-q}(k^{*2})$. Donc le groupe $G(S)$ doit contenir q

et $-q$. Mais $G(S) \subset G(T) = \langle q, -1\rangle$, donc $G(S) = G(T)$. Ainsi S n'est pas uniparamétré, et donc $\mathrm{GKdim}(S) \geq 3$.

Supposons que $\mathrm{GKdim}(S) = 3$. Notons $S = k_M[y_1^{\pm 1}, y_2^{\pm 1}, y_3^{\pm 1}]$, paramétré par $M = (\mu_{i,j}) \in M_3(k^*)$ multiplicativement antisymétrique. Considérons la sous-algèbre $S' = k_{M'}[y_1^{\pm 2}, y_2^{\pm 2}, y_3^{\pm 2}]$ engendrée par les carrés des générateurs de S, où $M' = (\mu_{i,j}^4)$. D'après la proposition 4.1.1 appliquée aux coefficients de M et de M', on peut vérifier que la simplicité de S implique celle de S'. Or de $G(S) = \langle -1, q\rangle$ il découle que $G(S') = \langle q^4\rangle$. Le tore quantique S' serait uniparamétré et de GK-dimension égale à 3, et ne pourrait pas être simple en vertu de la proposition 2.3(ii) de [27]. On aboutit donc à une contradiction en supposant S de GK-dimension égale à 3.

Supposons que $\mathrm{GKdim}(S) = 4$. Comme précédemment notons

$$S = k_M[y_1^{\pm 1}, y_2^{\pm 1}, y_3^{\pm 1}, y_4^{\pm 1}],$$

avec $M = (\mu_{i,j}) \in M_4(k^*)$ multiplicativement antisymétrique. La sous-algèbre $S' = k_{M'}[y_1^{\pm 2}, y_2^{\pm 2}, y_3^{\pm 2}, y_4^{\pm 2}]$ engendrée par les carrés des générateurs de S, où $M' = (\mu_{i,j}^4)$, est un tore quantique simple uniparamétré par q^4. D'après la preuve de la proposition 2.3 de [27], S' est k-isomorphe à un tore quantique simple $\mathcal{O}_{\Lambda''}(k^{*4})$ où Λ'' est de la forme canonique

$$\Lambda'' = \begin{pmatrix} 1 & q^{4d_1} & 1 & 1 \\ q^{-4d_1} & 1 & 1 & 1 \\ 1 & 1 & 1 & q^{4d_2} \\ 1 & 1 & q^{-4d_2} & 1 \end{pmatrix},$$

avec des entiers $d_1, d_2 \geq 1$ tels que d_1 divise d_2. Remarquons que les générateurs de S sont inversibles dans T, ce sont donc des monômes en les générateurs de T. Par conséquent S' est une sous-algèbre du tore quantique $T' = \mathcal{O}_{\Lambda'}(k^{*4})$ engendré par les carrés des générateurs de T, avec

$$\Lambda' = \begin{pmatrix} 1 & q^4 & 1 & 1 \\ q^{-4} & 1 & 1 & 1 \\ 1 & 1 & 1 & 1 \\ 1 & 1 & 1 & 1 \end{pmatrix}.$$

Or $\mathcal{F}\mathrm{rac}(\mathcal{O}_{\Lambda''}(k^{*4}))$ ne peut pas se plonger dans $\mathcal{F}\mathrm{rac}(\mathcal{O}_{\Lambda'}(k^{*4}))$ d'après le corollaire 2.14 de [3]. A nouveau on aboutit à une contradiction.

Puisque $\mathrm{GKdim}(T) = 4$ on a ainsi démontré la proposition. $\square$

4.3 Cas des corps de fonctions rationnelles mixtes croisés.

Proposition 4.3.1 *Soient $n \geq 1$ et $0 \leq r \leq n$ deux entiers, et $\Lambda \in M_n(k^*)$ multiplicativement antisymétrique. Alors le tore quantique $\mathcal{O}_\Lambda(k^{*n})$ est un sous-tore quantique maximal de $\mathcal{F}\mathrm{rac}(S^\Lambda_{n,r}(k))$.*

Preuve. Il est clair que les y_i et leurs inverses engendrent dans $\mathcal{F}\mathrm{rac}(S^\Lambda_{n,r}(k))$ un tore quantique isomorphe à $\mathcal{O}_\Lambda(k^{*n})$. Considérons alors un tore quantique $\mathcal{O}_M(k^{*m})$, avec $M = (\mu_{i,j}) \in M_m(k^*)$ multiplicativement antisymétrique, et supposons qu'il existe un morphisme ϕ de $\mathcal{O}_M(k^{*m})$ dans $\mathcal{F}\mathrm{rac}(S^\Lambda_{n,r}(k))$. Notons $X_1^{\pm 1}, \ldots, X_m^{\pm 1}$ les images par ϕ des générateurs de $\mathcal{O}_M(k^{*m})$. On a alors dans le corps $\mathcal{F}\mathrm{rac}(S^\Lambda_{n,r}(k))$ les identités $X_iX_j = \mu_{i,j}X_jX_i$ pour tous $1 \leq i, j \leq m$, et en appliquant dans le corps de séries $\mathbb{F}$ défini en 3.2.2 l'application $\Psi \circ \Phi$, on obtient

$$\alpha(\nu(X_i), \nu(X_j)) = \mu_{i,j}\alpha(\nu(X_j), \nu(X_i)).$$

Ainsi :

$$\forall\ 1 \leq i, j \leq m,\ \mu_{i,j} = \prod_{1 \leq k,t \leq n} \lambda_{k,t}^{\nu_k(X_i)\nu_t(X_j)}.$$

En notant

$$H = (\nu_k(X_i))_{1 \leq k \leq n,\ 1 \leq i \leq m},$$

on en déduit par la proposition 4.1.2 qu'il existe un morphisme de k-algèbres de $\mathcal{O}_M(k^{*m})$ dans $\mathcal{O}_\Lambda(k^{*n})$. □

Corollaire 4.3.2 *Reprenons les hypothèses de la proposition précédente. Supposons de plus que la matrice Λ vérifie l'une des trois conditions équivalentes de la proposition 4.1.1. Alors $\mathcal{O}_\Lambda(k^{*n})$ est un sous-tore quantique maximal simple de $\mathcal{F}\mathrm{rac}(S^\Lambda_{n,r}(k))$.*

Preuve. Ceci est une conséquence directe des propositions 4.3.1 et 4.1.1. □

5 Un invariant "classique" : le w-degré supérieur.

5.1 Notion de corps de Weyl mixtes.

On introduit ici une version multiparamétrée des corps de Weyl mixtes définis dans [3].

Définition 5.1.1 *Soient $m, n, t \in \mathbb{N}$, et soit $\bar{q} = (q_1, \ldots, q_n) \in (k \setminus \{0, 1\})^n$. On appelle corps de Weyl mixte associé à ces données, et on note $\mathcal{D}^{\bar{q}}_{m,n,t}(k)$,*

le corps de fractions de l'algèbre $\mathcal{A}^{\bar{q}}_{m,n,t}(k)$, engendrée sur k par $2m+2n+t$ générateurs

$$x_1, \ldots, x_m, y_1, \ldots, y_m, u_1, \ldots, u_n, v_1, \ldots, v_n, z_1, \ldots, z_t$$

soumis aux relations suivantes pour tous $1 \leq i \neq j \leq m$, $1 \leq k \neq l \leq n$, $1 \leq p \neq s \leq t$:

$$\begin{gathered}
[x_i, x_j] = [y_i, y_j] = [x_i, y_j] = 0, \\
x_i y_i = y_i x_i + 1, \\
[u_k, u_l] = [v_k, v_l] = [u_k, v_l] = 0, \\
u_k v_k = q_k v_k u_k, \\
[z_p, z_s] = [z_p, x_i] = [z_p, y_i] = [z_p, u_k] = [z_p, v_k] = 0, \\
[x_i, u_k] = [x_i, v_k] = [y_i, u_k] = [y_i, v_k] = 0.
\end{gathered}$$

Remarque. Ces relations sont donc représentées par le graphe suivant :

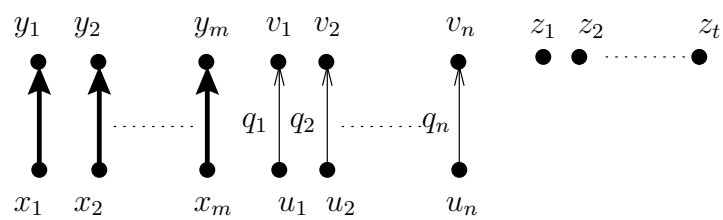

Exemples. • Il est clair qu'on retrouve dans le cas $n = 0$ les corps de Weyl classiques : $\mathcal{D}_{m,0,t}(k) = \mathcal{D}_{m,t}(k) = \mathcal{F}\mathrm{rac}(A_{m,t}(k))$.

• Si $m = 0$, on a : $\mathcal{D}^{\bar{q}}_{0,n,t}(k) = \mathcal{F}\mathrm{rac}(\mathcal{O}_\Lambda(k^{2n+t}))$, corps de fonctions rationnelles quantique paramétré par la matrice $\Lambda \in M_{2n+t}(k^*)$, composée sur sa diagonale de n blocs $\begin{pmatrix} 1 & q_i \\ q_i^{-1} & 1 \end{pmatrix}$, et de 1 partout ailleurs. Rappelons en particulier que, d'après le théorème 2.19 de [25], tout corps de fractions d'un tore quantique uniparamétré est de ce type.

Proposition 5.1.2 *Soient $m, n, t, \bar{q}$ tels que dans la définition 5.1.1. Alors :*

$$\mathrm{GKdim}(\mathcal{A}^{\bar{q}}_{m,n,t}(k)) = \mathrm{GKtrdeg}(\mathcal{D}^{\bar{q}}_{m,n,t}(k)) = 2m + t + 2n.$$

Preuve. Comme à la proposition 1.1.4, on utilise récursivement le lemme 2.2 de [18], puis le théorème 7.3 de [31]. □

Proposition 5.1.3 *Soient $m, n, t, \bar{q}$ tels que dans la définition 5.1.1. Soit r le nombre de q_i racines de l'unité dans k^*. Alors $\mathcal{Z}(\mathcal{D}^{\bar{q}}_{m,n,t}(k))$ est une extension transcendante pure de k, de degré $r + t$.*

En particulier $\mathcal{Z}(\mathcal{D}^{\bar{q}}_{m,n,t}(k)) = k(z_1, \ldots, z_t)$ *dès que tous les* q_i *sont non racines de l'unité.*

Preuve. C'est un cas particulier de la proposition 3.3.1. □

5.2 Un invariant dimensionnel : le w-degré inférieur.

Exemple préliminaire. Fixons $q \in k^*$ non racine de l'unité, et considérons les deux corps de Weyl mixtes $F = \mathcal{D}^{(q,q)}_{1,0,2}(k)$ et $F' = \mathcal{D}^{(q)}_{2,0,1}(k)$:

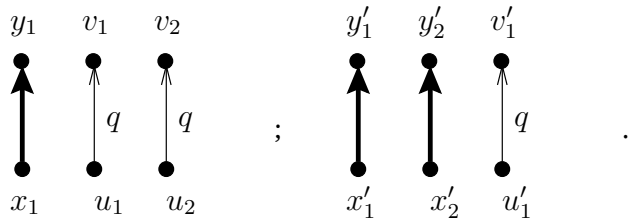

(F) (F')

Il est clair, au vu de tous les résultats qui précèdent, que
– $\mathrm{GKtrdeg}(F) = \mathrm{GKtrdeg}(F') = 6$;
– $\mathcal{Z}(F) = \mathcal{Z}(F') = k$;
– $E(F) = E(F') = k$.
De plus, d'après la proposition 3.4.2 on a $G(F) = G(F') = \langle q \rangle$ (résultat déjà montré à la proposition 2.5 de [3]).

L'invariant suivant, défini dans le cas uniparamétré dans l'article [3], a entre autres pour objectif de séparer ce type de situations.

Définition 5.2.1 (w-degré inférieur) *Soit* L *un corps gauche contenant* k *dans son centre. Notons* M *la borne supérieure de l'ensemble des entiers* $m \geq 1$ *pour lesquels il existe dans* L *un sous-corps* k*-isomorphe au corps de Weyl classique* $\mathcal{D}_m(k)$*, avec la convention* $M = 0$ *s'il n'existe pas de tels sous-corps. Alors* $2M$ *est appelé* w*-degré inférieur de* L*, et noté* $\text{w-infdeg}(L)$.

Remarques. • En d'autres termes, le w-degré inférieur de L est le GK-degré de transcendance du plus grand corps de Weyl classique qui se plonge dans L. On a en particulier $\text{w-infdeg}(L) \leq \mathrm{GKtrdeg}(L)$.

• J. Alev et F. Dumas calculent dans [3] le w-degré inférieur d'un corps de Weyl mixte dans le cas où les q_i sont tous puissances d'un même $q \in k^*$ non racine de l'unité. Leur méthode de preuve (par réduction modulo p) s'adapte sans difficulté au cas multiparamétré. On obtient ainsi le théorème suivant.

Théorème 5.2.2 *Soient $m, n, t, \bar{q}$ tels que dans la définition 5.1.1. Alors :*

$$\text{w-infdeg}(\mathcal{D}^{\bar{q}}_{m,n,t}(k)) = 2m.$$

Preuve. On adapte la preuve du théorème 2.11 de [3]. Pour plus de détails, voir la preuve du théorème 3.1.2.4 de [28]. □

Ainsi le w-degré inférieur "caractérise" le nombre d'arêtes de Weyl d'un corps de Weyl mixte, et deux corps de Weyl mixtes k-isomorphes doivent avoir le même nombre d'arêtes de Weyl. Ceci résoud en particulier l'exemple présenté au début de ce paragraphe, en montrant que les corps F et F' ne sont pas k-isomorphes.

A titre d'illustration, on déduit du théorème 5.2.2 le résultat de plongement suivant (valable en particulier pour les corps de Weyl classiques).

Corollaire 5.2.3 *Avec les notations de la définition 5.1.1, si un corps de Weyl mixte $\mathcal{D}^{\bar{q}}_{m,n,t}(k)$ se plonge dans un corps de Weyl mixte $\mathcal{D}^{\bar{q}'}_{m',n',t'}(k)$, alors $m \leq m'$.*

Preuve. Ceci découle directement de la définition du w-degré inférieur et du théorème 5.2.2. □

5.3 Notion de w-degré supérieur.

Nous introduisons dans ce paragraphe un autre invariant dimensionnel, directement lié au w-degré inférieur, mais plus facile à calculer que ce dernier pour les corps de fonctions rationnelles mixtes croisés généraux. On commence par un exemple.

5.3.1 Un exemple de "détressage par plongement".

Fixons $q \in k^*$ non racine de l'unité. Considérons l'algèbre $S^{\Lambda}_{2,2}(k)$, avec $\Lambda = \begin{pmatrix} 1 & q \\ q^{-1} & 1 \end{pmatrix}$. Il s'agit de l'algèbre, notée $S^{q}_{2,2}(k)$ avec les conventions introduites au paragraphe 1.1, engendrée sur k par x_1, x_2, y_1, y_2 avec les relations :

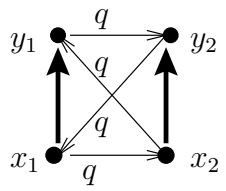

.

Par des considérations très techniques sur les centralisateurs de certaines paires d'éléments, il est démontré au théorème 3.5 de [3] que $\mathcal{F}\mathrm{rac}(S^q_{2,2}(k))$ n'est pas isomorphe à un corps de Weyl mixte (nous donnons un peu plus loin en 5.3.3 une autre preuve de ce résultat). En revanche, il se plonge dans un corps de Weyl mixte de la façon suivante.

Proposition. *Il existe un plongement de $\mathcal{F}rac(S^q_{2,2}(k))$ dans le corps de Weyl mixte $\mathcal{D}^q_{2,1,0}(k)$.*

Preuve. Il est facile de vérifier que le graphe suivant est admissible, et définit donc une extension itérée de Ore R engendrée sur k par 6 générateurs $x_1, x_2, y_1, y_2, y_3, y_4$ avec les relations de commutation :

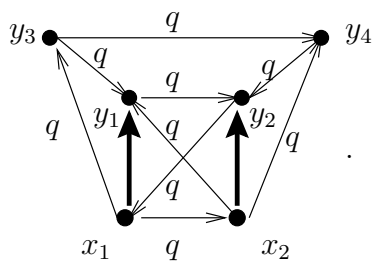

Il est clair que l'algèbre $S^q_{2,2}(k)$ se plonge dans R. Mais $\mathcal{F}\mathrm{rac}(R)$ admet comme autre famille de générateurs :

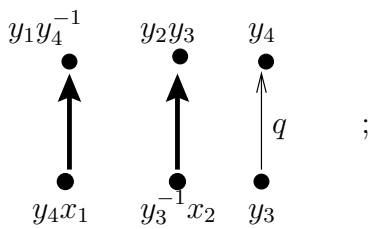

d'où le résultat annoncé. □

5.3.2 Définition du w-degré supérieur.

Le w-degré inférieur s'avère être un invariant difficile à calculer, et hormis dans le cas des corps de Weyl mixtes (théorème 5.2.2) et de certains exemples particuliers (voir la question (ii) à la fin de [3]), on ne dispose à notre connaissance d'aucune méthode permettant son calcul. Reprenons par exemple le corps $F = \mathcal{F}\mathrm{rac}(S^q_{2,2}(k))$ ci-dessus. Bien que l'on puisse raisonnablement conjecturer que w-infdeg$(F) = 2$, la question déjà posée en [3] de démontrer ce résultat reste à notre connaissance toujours ouverte. Par contre, on a su en 5.3.1 plonger F dans un corps de Weyl mixte sans augmenter le nombre

d'arêtes de Weyl dans le graphe traduisant les relations de commutation entre les générateurs du corps.

L'idée est alors la suivante : puisqu'on ne sait pas mesurer "par en bas" le corps de Weyl classique maximal qu'on peut plonger dans le corps F, on va le faire "par en haut" en plongeant F dans un corps de Weyl mixte avec un nombre minimal d'arêtes de Weyl. D'où la notion suivante :

Définition. (w-degré supérieur) *Soit L un corps gauche contenant k dans son centre. Notons M le plus petit des entiers $m \geq 0$ pour lesquels il existe un corps de Weyl mixte dont le* w*-degré inférieur est égal à $2m$, et admettant un sous-corps k-isomorphe à L, avec la convention $M = +\infty$ s'il n'existe pas de tels corps de Weyl mixtes. Alors $2M$ est appelé* w*-degré supérieur de L, et noté* w-supdeg(L).

Remarquons que, à cause du théorème 5.2.2 et par définitions, on a toujours

$$\text{w-infdeg}(L) \leq \text{w-supdeg}(L).$$

Proposition. *Soient $m, n, t, \bar{q}$ tels que dans la définition 5.1.1. Alors :*

$$\text{w-infdeg}(\mathcal{D}^{\bar{q}}_{m,n,t}(k)) = \text{w-supdeg}(\mathcal{D}^{\bar{q}}_{m,n,t}(k)) = 2m.$$

Preuve. Par définition on a w-supdeg$(\mathcal{D}^{\bar{q}}_{m,n,t}(k)) \leq 2m$. Mais d'après le théorème 5.2.2 et la remarque précédente, on a

$$2m = \text{w-infdeg}(\mathcal{D}^{\bar{q}}_{m,n,t}(k)) \leq \text{w-supdeg}(\mathcal{D}^{\bar{q}}_{m,n,t}(k)).$$

□

A titre d'illustration, montrons sur l'exemple étudié ci-dessus du corps de fonctions rationnelles $\mathcal{F}\text{rac}(S^q_{2,2}(k))$ comment un résultat de "détressage par plongement" permet le calcul du w-degré supérieur.

5.3.3 Retour à l'exemple 5.3.1.

Proposition. *Soient $q \in k^*$ non racine de l'unité, et $\Lambda = \begin{pmatrix} 1 & q \\ q^{-1} & 1 \end{pmatrix}$. Alors*

$$\text{w-supdeg}(\mathcal{F}rac(S^{\Lambda}_{2,2}(k))) = 4.$$

Preuve. La proposition 5.3.1 montre que w-supdeg$(\mathcal{F}\text{rac}(S^{\Lambda}_{2,2}(k))) \leq 4$.

Pour la réciproque, donnons-nous un corps de Weyl mixte $\mathcal{D}^{\bar{q}}_{m,n,t}(k)$ contenant $\mathcal{F}\mathrm{rac}(S^{\Lambda}_{2,2}(k))$. Montrons qu'alors le corps de Weyl mixte $\mathcal{D}^{(\bar{q},q)}_{m,n+1,t}(k)$ contient le corps de Weyl $\mathcal{D}_2(k) = \mathcal{F}\mathrm{rac}(A_2(k))$. Pour cela, remarquons que le corps $\mathcal{D}^{(\bar{q},q)}_{m,n+1,t}(k)$ est obtenu à partir de $\mathcal{D}^{\bar{q}}_{m,n,t}(k)$ en ajoutant au graphe de commutation donné après la définition 5.1.1 une arête quantique

$$u_{n+1} \bullet \xrightarrow{\;q\;} \bullet\, v_{n+1} \qquad .$$

Or $\mathcal{D}^{\bar{q}}_{m,n,t}(k)$ est supposé contenir $\mathcal{F}\mathrm{rac}(S^{\Lambda}_{2,2}(k))$, engendré par x_1, x_2, y_1, y_2 et les relations :

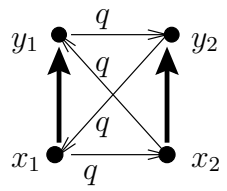

.

Par ailleurs les générateurs u_{n+1} et v_{n+1} dans $\mathcal{D}^{(\bar{q},q)}_{m,n+1,t}(k)$ commutent à tous les éléments de $\mathcal{D}^{\bar{q}}_{m,n,t}(k)$, et on vérifie facilement que les éléments

$$x'_1 = v^{-1}_{n+1}x_1,\ y'_1 = y_1v_{n+1},\ x'_2 = u^{-1}_{n+1}x_2,\ y'_2 = y_2u_{n+1}$$

engendrent dans $\mathcal{D}^{(\bar{q},q)}_{m,n+1,t}(k)$ une image homomorphe (donc isomorphe) de l'algèbre de Weyl $A_2(k)$. Donc $\mathcal{D}^{(\bar{q},q)}_{m,n+1,t}(k)$ contient un sous-corps isomorphe au corps de Weyl $\mathcal{D}_2(k)$. Ceci prouve, d'après le théorème 5.2.2, que $m \geq 2$. On en conclut par définition même du w-degré supérieur que :

$$\text{w-supdeg}(\mathcal{F}\mathrm{rac}(S^{\Lambda}_{2,2}(k))) \geq 4.$$

□

Comme on l'a annoncé au début du paragraphe, ce calcul permet par exemple de retrouver le résultat suivant, prouvé par une autre méthode en [3].

Corollaire. *Soit $q \in k^*$ non racine de l'unité, et $\Lambda = \begin{pmatrix} 1 & q \\ q^{-1} & 1 \end{pmatrix}$. Alors le corps $\mathcal{F}rac(S^{\Lambda}_{2,2}(k))$ n'est k-isomorphe à aucun corps de Weyl mixte $\mathcal{D}^{\bar{q}}_{m,n,t}(k)$.*

Preuve. Supposons que $\mathcal{F}\mathrm{rac}(A^{\Lambda}_{2,2}(k))$ soit k-isomorphe à un corps de Weyl mixte $\mathcal{D}^{\bar{q}}_{m,n,t}(k)$. D'après la proposition 5.1.2, l'égalité des GK-degrés de transcendance impliquerait $4 = 2m + 2n + t$. Mais, d'après les propositions 5.3.2 et 5.3.3, l'égalité des w-degrés supérieurs impliquerait alors $4 = 2m$, donc $n = t = 0$. Le corps $\mathcal{D}^{\bar{q}}_{m,n,t}(k)$ serait alors le corps de Weyl $\mathcal{D}_2(k)$, ce qui est absurde puisque $G(\mathcal{F}\mathrm{rac}(S^{\Lambda}_{2,2}(k))) \neq \{1\}$. □

Nous allons généraliser la méthode de "détressage par plongement" décrite sur l'exemple précédent afin de calculer le w-degré supérieur des corps de fonctions rationnelles mixtes croisés de dimension quelconque.

Lemme 5.4.1 *Soient $n \geq 1$ un entier, et $\Lambda \in M_n(k^*)$ une matrice multiplicativement antisymétrique. Alors il existe des entiers positifs r, t vérifiant $2r + t = n(n-1)$, et un r-uplet $\bar{q} \in (k \setminus \{0,1\})^r$ tels que :*

(1) l'espace affine quantique $\mathcal{O}_\Lambda(k^n)$ se plonge dans l'algèbre $\mathcal{A}^{\bar{q}}_{0,r,t}(k)$ définie en 5.1.1 ;

(2) et donc $\mathcal{F}rac(\mathcal{O}_\Lambda(k^n))$ se plonge dans $\mathcal{D}^{\bar{q}}_{0,r,t}(k)$.

Preuve. Considérons l'algèbre A engendrée sur k par $n(n-1)$ générateurs :

$$u_2^1, v_2^1, u_3^1, v_3^1, \ldots, u_n^1, v_n^1, u_3^2, v_3^2, \ldots, u_n^2, v_n^2, \ldots, u_n^{n-1}, v_n^{n-1},$$

soumis aux relations

$$u_j^i v_j^i = \lambda_{i,j} v_j^i u_j^i, \text{ et } [u_j^i, v_t^k] = [u_j^i, u_t^k] = [v_j^i, v_t^k] = 0 \text{ si } (i,j) \neq (k,t). \qquad (3)$$

On vérifie aisément que A est une algèbre $\mathcal{A}^{\bar{q}}_{0,r,t}(k)$ au sens de la définition 5.1.1, dont le corps de fractions est un corps de Weyl mixte (en fait ici purement quantique) $\mathcal{D}^{\bar{q}}_{0,r,t}(k)$, où t est le double du nombre de $\lambda_{i,j}$ égaux à 1, où r est le nombre de $\lambda_{i,j}$ distincts de 1, et où les q_i dans $\bar{q} = (q_1, \ldots, q_r)$ sont précisément les $\lambda_{i,j}$ (avec $i < j$) distincts de 1.

On définit alors un morphisme de $\mathcal{O}_\Lambda(k^n) = k_\Lambda[y_1, \ldots, y_n]$ dans A en posant :

$$\phi(y_i) = v_i^1 \ldots v_i^{i-1} u_{i+1}^i \ldots u_n^i \quad \text{pour} \quad 2 \leq i \leq n-1,$$
$$\phi(y_1) = u_2^1 \ldots u_n^1, \quad \text{et} \quad \phi(y_n) = v_n^1 \ldots v_n^{n-1}.$$

Pour montrer que ϕ est injectif on montre que pour tout $1 \leq i \leq n$ le morphisme ϕ_i défini comme la restriction de ϕ à la sous-algèbre de $k_\Lambda[y_1, \ldots, y_n]$ engendrée par $y_1, \ldots, y_i$ est injectif. Notons $k_{\Lambda_i}[y_1, \ldots, y_i]$ cette sous-algèbre. Pour $i = 1$, l'injectivité de ϕ_1 est claire. Soit $i \geq 2$, et supposons $\phi_1, \ldots, \phi_{i-1}$ injectifs. Notons $P = \sum_{a=0}^{d} P_a(y_1, \ldots, y_{i-1}) y_i^a$ un élément non nul de $k_{\Lambda_i}[y_1, \ldots, y_i]$, avec $P_a(y_1, \ldots, y_{i-1}) \in k_{\Lambda_{i-1}}[y_1, \ldots, y_{i-1}]$, et $P_d \neq 0$. Alors

$$\phi_i(P) = \sum_{a=0}^{d} \phi_i(P_a(y_1, \ldots, y_{i-1}))(v_i^1)^a \ldots (v_i^{i-1})^a (u_{i+1}^i)^a \ldots (u_n^i)^a.$$

Puisque v_i^{i-1} n'apparaît dans aucun des $\phi_i(y_1), \ldots, \phi_i(y_{i-1})$, le terme de plus haut degré en v_i^{i-1} est $\phi_i(P_d(y_1, \ldots, y_{i-1}))(v_i^1)^d \ldots (v_i^{i-1})^d (u_{i+1}^i)^d \ldots (u_n^i)^d$. Or par hypothèse de récurrence, $\phi_i(P_d(y_1, \ldots, y_{i-1})) = \phi_{i-1}(P_d(y_1, \ldots, y_{i-1})) \neq 0$, donc $\phi_i(P) \neq 0$, ce qui montre l'injectivité de ϕ_i. Ainsi par itérations $\phi_n = \phi$ est injectif. Ceci montre le point (1). Pour le point (2), on étend ϕ en un plongement de $k_\Lambda(y_1, \ldots, y_n)$ dans $\mathcal{F}\mathrm{rac}(A) = \mathcal{D}_{0,r,t}^{\bar{q}}(k)$. $\square$

Illustrons ce lemme en dimension 3. Soit $\Lambda \in M_3(k^*)$ multiplicativement anti-symétrique. L'espace affine quantique $k_\Lambda[y_1, y_2, y_3]$ est engendré par y_1, y_2, y_3 avec les relations :

$$\begin{tikzcd} y_2 \arrow[r, "\lambda_{2,3}"] & y_3 \\ y_1 \arrow[u, "\lambda_{1,2}"] \arrow[ur, "\lambda_{1,3}"'] & \end{tikzcd} .$$

L'algèbre A de la preuve est engendrée par $u_2^1, v_2^1, u_3^1, v_3^1, u_3^2, v_3^2$ avec les relations :

$$\begin{tikzcd} v_2^1 & v_3^1 & v_3^2 \\ u_2^1 \arrow[u, "\lambda_{1,2}"] & u_3^1 \arrow[u, "\lambda_{1,3}"] & u_3^2 \arrow[u, "\lambda_{2,3}"] \end{tikzcd} .$$

On définit alors un morphisme injectif de $k_\Lambda[y_1, y_2, y_3]$ dans A par $y_1 \mapsto u_2^1 u_3^1$, $y_2 \mapsto v_2^1 u_3^2$, $y_3 \mapsto v_3^1 v_3^2$.

Montrons maintenant comment "détresser" un graphe comprenant à la fois des arêtes eulériennes et des arêtes quantiques.

Lemme 5.4.2 *Soit $q \in k \setminus \{0, 1\}$. Alors le corps mixte croisé $\mathcal{F}rac(S_{2,1}^q(k))$ se plonge dans le corps de Weyl mixte $\mathcal{D}_{1,1,0}^q(k)$.*

Preuve. L'algèbre $T_{2,1}^q(k)$ définie en 3.1 est engendrée sur k par y_1, y_2, w_1 avec les relations :

$$y_1 y_2 = q y_2 y_1,\ y_1 w_1 = (w_1 - 1) y_1 \text{ et } y_2 w_1 = w_1 y_2,$$

Par ailleurs, considérons l'algèbre $A = U(k) \otimes \mathcal{O}_q(k^2)$ engendré sur k par w, y, u, v, avec les relations :

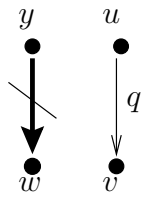

On définit un morphisme de k-algèbres de $T^q_{2,1}(k)$ dans A en envoyant y_1 sur yu, y_2 sur v, w_1 sur w. Les monômes en les générateurs formant une base de k-espace vectoriel de A, on montre comme en 5.4.1 que ce morphisme est injectif. On étend alors ce morphisme en un plongement de $\mathcal{F}\mathrm{rac}(T^Q_{2,1}(k))$ dans le corps de Weyl mixte $\mathcal{D}^q_{1,1,0}(k) = \mathcal{F}\mathrm{rac}(A)$. □

Enonçons enfin le résultat général.

Proposition 5.4.3 *Soient $n \geq 1$ et $0 \leq r \leq n$ deux entiers, et $\Lambda \in M_n(k^*)$ une matrice multiplicativement antisymétrique. Alors il existe des entiers positifs s, t vérifiant $n(n-1) \leq 2s+t \leq n(n-1)+r$, et un s-uplet $\bar{q} \in (k \setminus \{0,1\})^s$ tels que le corps de fonctions rationnelles mixte croisé $\mathcal{F}rac(S^\Lambda_{n,r}(k))$ se plonge dans le corps de Weyl mixte $\mathcal{D}^{\bar{q}}_{r,s,t}(k)$.*

Preuve. Si $n = 1$ l'algèbre $S^{(1)}_{1,r}(k)$ vaut $k[y_1]$ ou $A_1(k)$ suivant que $r = 0$ ou $r = 1$, et il n'y a rien à démontrer. Supposons donc $n \geq 2$. Soient $y_1, \ldots, y_n, w_1, \ldots, w_r$ les générateurs de la sous-algèbre $T^\Lambda_{n,r}(k)$ de $S^\Lambda_{n,r}(k)$ définie en 3.1. On va montrer que le plongement considéré au lemme 5.4.1 pour la sous-algèbre engendrée par $y_1, \ldots, y_n$ s'étend en un plongement de $T^\Lambda_{n,r}(k)$ tout entier dans une algèbre A dont le corps de fractions est un corps de Weyl mixte. Soit A l'algèbre engendrée sur k par $n(n-1)+r$ générateurs

$$u^1_2, v^1_2, u^1_3, v^1_3, \ldots, u^1_n, v^1_n, u^2_3, v^2_3, \ldots, u^2_n, v^2_n, \ldots, u^{n-1}_n, v^{n-1}_n, t_1, \ldots, t_r,$$

avec les relations suivantes :

(1) les $n(n-1)$ premiers générateurs u^i_j et v^k_l vérifient les relations (3) définies en 5.4.1 ;

(2) pour $i < n$, l'élément t_i commute à tous les générateurs excepté u^i_{i+1}, avec lequel il vérifie la relation $[t_i, u^i_{i+1}] = u^i_{i+1}$;

(3) enfin si $r = n$, alors t_n commute à tous les autres générateurs exceptés v^1_n, avec lequel il vérifie $[t_n, v^1_n] = v^1_n$.

L'algèbre ainsi définie est une extension itérée de Ore en ces $n(n-1)+r$ générateurs, et admet donc un corps de fractions K. On peut définir un morphisme de $T^\Lambda_{n,r}(k)$ dans A, en complétant le morphisme défini au lemme 5.4.1 par $w_i \mapsto t_i$. On démontre comme en 5.4.1 que ce morphisme est injectif.

Le graphe Γ associé aux relations de commutation entre les générateurs de A est constitué :

– de sommets d'où ne part ni n'arrive aucune arête, correspondant à des coefficients $\lambda_{i,j}$ valant 1,
– de sommets reliés 2 à 2 par une arête quantique et d'où ne part aucune autre arête que celle-ci,
– et de triangles du type :

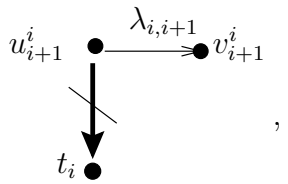

,

dont les sommets ne sont reliés à aucun autre sommet de Γ.

Ainsi A est produit tensoriel d'une algèbre de polynômes commutatifs, d'un nombre fini de plans quantiques, et d'un nombre fini d'algèbres $T_{2,1}^{\lambda_{i,i+1}}(k)$ définies par un graphe du type ci-dessus.

Si $\lambda_{i,i+1} = 1$, alors $T_{2,1}^{\lambda_{i,i+1}}(k)$ est le produit tensoriel de $k[v^i_{i+1}]$ par une algèbre $U(k)$ dont le corps de fractions est le corps de Weyl $D_1(k)$. Si $\lambda_{i,i+1} \neq 1$, de façon analogue à ce qui a été fait au lemme 5.4.2, on plonge $T_{2,1}^{\lambda_{i,i+1}}(k)$ dans une algèbre produit tensoriel d'une algèbre $U(k)$ par un plan quantique.

On plonge ainsi A dans une algèbre B produit tensoriel de plans quantiques, d'algèbres $U(k)$, et d'une algèbre de polynômes commutatifs. On en déduit un morphisme injectif de $T^{\Lambda}_{n,r}(k)$ dans B. On étend alors ce morphisme en un plongement du corps de fractions de $T^{\Lambda}_{n,r}(k)$ dans le corps de fractions de B, qui est par construction un corps de Weyl mixte. $\square$

Le lemme suivant est la dernière étape vers le calcul du w-degré supérieur d'un corps de fonctions rationnelles mixte croisé.

Lemme 5.4.4 *Soient $n \geq 1$ et $0 \leq r \leq n$ deux entiers, et $\Lambda \in M_n(k^*)$ une matrice multiplicativement antisymétrique. Supposons qu'il existe des entiers m, s, t, et $\bar{q} \in (k \setminus \{0,1\})^s$ tels que le corps de Weyl mixte $\mathcal{D}^{\bar{q}}_{m,s,t}(k)$ admette un sous-corps k-isomorphe au corps de fonctions rationnelles mixte croisé $\mathcal{F}rac(S^{\Lambda}_{n,r}(k))$. Alors $r \leq m$.*

Preuve. Soit ${}^t\Lambda$ la matrice multiplicativement antisymétrique transposée de Λ. D'après le lemme 5.4.1, il existe une algèbre $\mathcal{A}^{\bar{q}'}_{0,s_1,t_1}(k)$ au sens de 5.1.1 telle que $\mathcal{O}_{{}^t\Lambda}(k^n)$ se plonge dans $\mathcal{A}^{\bar{q}'}_{0,s_1,t_1}(k)$. Pour les données $m, s, t, \bar{q}$ de l'énoncé, considérons l'algèbre en $2m + 2s + t + 2s_1 + t_1$ générateurs

$$B = \mathcal{A}^{\bar{q}}_{m,s,t}(k) \otimes \mathcal{A}^{\bar{q}'}_{0,s_1,t_1}(k) \cong \mathcal{A}^{(\bar{q},\bar{q}')}_{m,s+s_1,t+t_1}(k),$$

où $(\bar{q}, \bar{q}') = (q_1, \ldots, q_s, q'_1, \ldots, q'_{s_1}) \in (k \setminus \{0,1\})^{s+s_1}$.

Par hypothèse $\mathcal{F}\mathrm{rac}(S^{\Lambda}_{n,r}(k))$ se plonge dans $\mathcal{D}^{\bar{q}}_{m,s,t}(k)$ donc dans $\mathcal{F}\mathrm{rac}(B)$. En particulier, il existe dans $\mathcal{F}\mathrm{rac}(B)$ des éléments $y_1, \ldots, y_n, w_1, \ldots, w_r$ engendrant sur k une sous-algèbre k-isomorphe à $T^{\Lambda}_{n,r}(k)$, et des éléments $y'_1, \ldots, y'_n$ engendrant sur k une sous-algèbre k-isomorphe à $\mathcal{O}_{{}^t\Lambda}(k^n)$, et tels que les y'_i commutent aux $y_1, \ldots, y_n, w_1, \ldots, w_r$. Posons $Y_k = y_k y'_k$, et $X_k = Y_k^{-1} w_k$ dans $\mathcal{F}\mathrm{rac}(B)$ pour tout $k \leq r$. Les éléments $X_1, \ldots, X_r, Y_1, \ldots, Y_r$ engendrent dans $\mathcal{F}\mathrm{rac}(B)$ une image homomorphe (donc isomorphe) de l'algèbre de Weyl $A_r(k)$. On conclut que $\mathcal{D}_r(k)$ se plonge dans $\mathcal{F}\mathrm{rac}(B) = \mathcal{D}^{(\bar{q},\bar{q}')}_{m,s+s_1,t+t_1}(k)$. Il découle alors du théorème 5.2.2 que $r \leq m$. □

Théorème 5.4.5 *Soit $\Lambda \in M_n(k^*)$ une matrice multiplicativement antisymétrique, et $r \leq n$. Alors*

$$\text{w-supdeg}(\mathcal{F}rac(S^{\Lambda}_{n,r}(k))) = 2r.$$

Preuve. D'après le lemme 5.4.4 on a w-supdeg$(\mathcal{F}\mathrm{rac}(S^{\Lambda}_{n,r}(k))) \geq 2r$, et la proposition 5.4.3 montre l'inégalité inverse. □

Remarque. On a ainsi caractérisé r comme un invariant rationnel des algèbres $S^{\Lambda}_{n,r}(k)$, indépendant de la présentation choisie. Rappelons que, si l'on voit $S^{\Lambda}_{n,r}(k)$ comme une algèbre $\mathcal{A}(\Gamma)$ définie à partir d'un graphe qW admissible Γ au sens de la section 2, alors r n'est autre que la moitié du rang de la matrice $P(\Gamma)$ codant les arêtes de Weyl dans Γ. Pour certaines classes d'algèbres rationnellement équivalentes à des algèbres $S^{\Lambda}_{n,r}(k)$, il est intéressant de pouvoir calculer r directement en fonction des paramètres définissant ces algèbres. C'est le cas par exemple des algèbres de Weyl quantiques multiparamétrées, comme on le verra à la section 7.

6 Equivalence rationnelle des algèbres mixtes croisées.

Commençons par donner une condition nécessaire pour l'équivalence rationnelle de deux algèbres polynomiales mixtes croisées.

Théorème 6.1 *Soient $n, n' \geq 1$ et $r \leq n$, $r' \leq n'$ des entiers. Soient deux matrices $\Lambda \in M_n(k^*)$, et $\Lambda' \in M_{n'}(k^*)$ multiplicativement antisymétriques. Supposons que les deux corps $\mathcal{F}\mathrm{rac}(S^{\Lambda}_{n,r}(k))$ et $\mathcal{F}rac(S^{\Lambda'}_{n',r'}(k))$ soient k-isomorphes. Alors :*

(1) $n = n'$ et $r = r'$.

(2) Si de plus le tore quantique $\mathcal{O}_{\Lambda}(k^{*n})$ est simple, alors les tores quantiques $\mathcal{O}_{\Lambda}(k^{*n})$ et $\mathcal{O}_{\Lambda'}(k^{*n'})$ sont k-isomorphes.

Preuve. Par égalité des GK-degrés de transcendance on a d'après la proposition 1.1.4 l'égalité $n + r = n' + r'$. Par ailleurs le théorème 5.4.5 prouve que $r = r'$, donc $n = n'$. Ainsi Λ et Λ' ont la même taille, et le point 2 résulte alors du lemme 4.2.2 et de la proposition 4.3.1. $\square$

La question se pose naturellement de la réciproque du point 2 du théorème 6.1. Il est assez facile de vérifier qu'une telle réciproque est vraie dans le contexte des corps de Weyl mixtes (voir le théorème 3.1.3.3 de [28]). Nous n'avons de réponse complète pour les corps de fonctions rationnelles mixtes croisés $\mathcal{F}\mathrm{rac}(S^{\Lambda}_{n,r}(k))$ que dans le cas semi-classique ($n = r$), que nous allons maintenant développer. Observons d'abord que les corps de fonctions rationnelles mixtes croisés semi-classiques $\mathcal{F}\mathrm{rac}(S^{\Lambda}_{n,n}(k))$ ne sont des corps de Weyl mixtes que si ce sont des corps de Weyl classiques. C'est l'objet de la proposition suivante, qui généralise le corollaire 5.3.3.

Proposition 6.2 *Soient $n \geq 1$ un entier, et $\Lambda \in M_n(k^*)$ multiplicativement antisymétrique. Supposons qu'il existe des entiers positifs m', n', t' et un n'-uplet $\bar{q} \in (k \setminus \{0,1\})^{n'}$ tels que $\mathcal{F}rac(S^{\Lambda}_{n,n}(k))$ soit k-isomorphe au corps de Weyl mixte $\mathcal{D}^{\bar{q}}_{m',n',t'}(k)$. Alors $n = m'$, et $n' = t' = 0$, c'est-à-dire que $\mathcal{F}rac(S^{\Lambda}_{n,n}(k))$ est le corps de Weyl classique $\mathcal{D}_n(k) = \mathcal{F}rac(A_n(k))$.*

Preuve. Par égalité des GK-degrés de transcendance on a : $2n = 2m' + 2n' + t'$. Par ailleurs d'après la proposition 5.3.2 et le théorème 5.4.5, l'égalité du w-degré supérieur des deux corps implique $2n = 2m'$, ce qui prouve la proposition. $\square$

Par égalité des GK-degrés de transcendance, la réciproque au théorème 6.1 dans le cas semi-classique n'a de sens que pour $n = n'$. Elle s'énonce alors comme suit.

Théorème 6.3 (Cas semi-classique) *Soient $n \in \mathbb{N}$, et $\Lambda, \Lambda' \in M_n(k^*)$ multiplicativement antisymétriques. Supposons que le tore quantique $\mathcal{O}_{\Lambda}(k^{*n})$ est simple. Alors les corps $\mathcal{F}rac(S^{\Lambda}_{n,n}(k))$ et $\mathcal{F}rac(S^{\Lambda'}_{n,n}(k))$ sont k-isomorphes si et seulement si les tores $\mathcal{O}_{\Lambda}(k^{*n})$ et $\mathcal{O}_{\Lambda'}(k^{*n})$ sont k-isomorphes.*

Preuve. La condition est nécessaire par le théorème 6.1.

Réciproquement, soit Φ un isomorphisme du tore quantique $k_{\Lambda}[y_1^{\pm 1}, \ldots, y_n^{\pm 1}]$ sur $k_{\Lambda'}[y_1'^{\pm 1}, \ldots, y_n'^{\pm 1}]$. Il existe d'après la proposition 4.1.2 une matrice $H = (h_{i,j})_{1 \leq i,j \leq n}$ dans $GL_n(\mathbb{Z})$ telle que pour tout i, $\Phi(y_i) = \alpha_i y_1'^{h_{1,i}} \ldots y_n'^{h_{n,i}}$, avec $\alpha_i \in k^*$. Notons $H^{-1} = (h'_{i,j})_{1 \leq i,j \leq n}$. Notons $w_1, \ldots, w_n, y_1, \ldots, y_n$ les générateurs sur k de la sous-algèbre $T^{\Lambda}_{n,n}(k)$ de $S^{\Lambda}_{n,n}(k)$ définie en 3.1.1, et $w'_1, \ldots, w'_n, y'_1, \ldots, y'_n$ les générateurs sur k de $T^{\Lambda'}_{n,n}(k)$. On vérifie alors aisément

qu'il existe un isomorphisme $\widehat{\Phi}$ de $\widehat{T}^{\Lambda}_{n,n}(k)$ sur $\widehat{T}^{\Lambda'}_{n,n}(k)$, défini pour tous $1 \leq i, j \leq n$ par $\widehat{\Phi}(y_i) = {y'_1}^{h_{1,i}} \dots {y'_n}^{h_{n,i}}$ et $\widehat{\Phi}(w_j) = h'_{j,1}w'_1 + \dots + h'_{j,n}w'_n$. Cet isomorphisme s'étend aux corps de fractions, ce qui termine la preuve. □

Remarque. Le théorème 6.3 permet de retrouver certains résultats de [27]. En effet, sa preuve montre en fait, pour les algèbres d'opérateurs différentiels eulériens sur les tores quantiques simples (c'est-à-dire les algèbres $\widehat{T}^{\Lambda}_{n,n}(k)$ avec les notations de 3.1.1), que les conditions suivantes sont équivalentes :

(1) $\widehat{T}^{\Lambda}_{n,n}(k)$ est k-isomorphe à $\widehat{T}^{\Lambda'}_{n,n}(k)$;

(2) $\widehat{T}^{\Lambda}_{n,n}(k)$ est rationnellement équivalente à $\widehat{T}^{\Lambda'}_{n,n}(k)$;

(3) les tores quantiques simples $\mathcal{O}_{\Lambda}(k^{*n})$ et $\mathcal{O}_{\Lambda'}(k^{*n})$ sont k-isomorphes ;

(4) les tores quantiques simples $\mathcal{O}_{\Lambda}(k^{*n})$ et $\mathcal{O}_{\Lambda'}(k^{*n})$ sont rationnellement équivalents.

Notons enfin que dans le cas uniparamétré, même *sans l'hypothèse de simplicité du tore quantique sous-jacent*, on peut démontrer un résultat similaire, grâce à la notion suivante de matrice canonique, utilisée par A.N. Panov dans [25].

Définition 6.4 *Soient deux entiers $n \geq 1$ et $0 \leq s \leq n/2$. Soit $(c_1, \dots, c_s)$ une famille d'entiers strictement positifs tels que c_i divise c_{i+1} pour tout i. On appelle matrice canonique antisymétrique de taille n associée à $(c_1, \dots, c_s)$, la matrice diagonale par blocs*

$$C^n(c_1, \dots, c_s) = Diag[C_1, \dots, C_s, 0, \dots, 0], \quad où \;\; C_i = \begin{pmatrix} 0 & c_i \\ -c_i & 0 \end{pmatrix}.$$

Théorème 6.5 (Cas uniparamétré) *Soient $n \geq 1$ un entier, et $q \in k^*$ non racine de l'unité.*

(i) Soit $S = (s_{i,j}) \in M_n(\mathbb{Z})$ une matrice antisymétrique de rang $2s$, et posons $\Lambda = (q^{s_{i,j}})_{i,j} \in M_n(k^*)$. Alors il existe une matrice antisymétrique canonique $C = (c_{i,j}) = C^n(d_1, \dots, d_s)$ équivalente à S, telle que $\mathcal{F}rac(S^{\Lambda}_{n,n}(k))$ est k-isomorphe à $\mathcal{F}rac(S^{\Lambda'}_{n,n}(k))$, où $\Lambda' = (q^{c_{i,j}})_{i,j}$.

(ii) Soient $s, s' \leq n/2$ deux entiers, et deux matrices antisymétriques canoniques $C = C^n(d_1, \dots, d_s)$ et $C' = C^n(d'_1, \dots, d'_{s'})$. Alors les corps gauches $\mathcal{F}rac(S^{\Lambda}_{n,n}(k))$ et $\mathcal{F}rac(S^{\Lambda'}_{n',n'}(k))$ sont k-isomorphes si et seulement si $n = n'$, et $C = C'$.

Preuve. On adapte les preuves de [25], en s'assurant qu'on peut remplacer le corps de base k par le corps de Weyl $D_n(k)$. □

7 Applications aux algèbres de Weyl quantiques multiparamétrées.

Un exemple particulièrement significatif d'algèbres rationnellement équivalentes à des algèbres polynomiales mixtes croisées est celui des algèbres de Weyl quantiques multiparamétrées. Notons que dans le cas "purement quantique", cette équivalence rationnelle a été établie dans [2]. Il existe dans la littérature de très nombreuses façons d'introduire les algèbres de Weyl quantiques associées à la définition d'un calcul différentiel sur diverses déformations de l'espace affine ([30], [24], [13], [17]...). Toutes aboutissent à des formes particulières de la définition générale que nous donnons ci-dessous (d'après [24] ; voir aussi [8], définition I.2.6, et la section 1.3 de [28]). Ces algèbres ont fait l'objet de nombreuses études du point de vue de la théorie des anneaux (voir par exemple les articles [2], [20], [17], [14], [15] et leurs bibliographies, ainsi que le chapitre 5 de [28]).

Définition 7.1 *Soit $n \geq 1$ un entier, soit $\Lambda \in M_n(k^*)$ multiplicativement antisymétrique, et soit $\bar{q} = (q_1, \ldots, q_n) \in (k^*)^n$. L'algèbre de Weyl multiparamétrée $A_n^{\bar{q},\Lambda}(k)$ est la k-algèbre engendrée par $2n$ générateurs $x_1, y_1, \ldots, x_n, y_n$ soumis aux relations ci-dessous, pour $1 \leq i < j \leq n$:*

$$\begin{aligned} y_i y_j &= \lambda_{i,j} y_j y_i, \\ x_i x_j &= q_i \lambda_{i,j} x_j x_i, \\ x_i y_j &= \lambda_{i,j}^{-1} y_j x_i, \\ x_j y_i &= q_i \lambda_{i,j} y_i x_j, \\ x_j y_j &= 1 + \textstyle\sum_{1 \leq k < j} (q_k - 1) y_k x_k + q_j y_j x_j. \end{aligned} \tag{4}$$

Comme pour les algèbres polynomiales mixtes croisées on peut vérifier que la GK-dimension de $A_n^{\bar{q},\Lambda}(k)$ et le GK-degré de transcendance de $\mathcal{F}\mathrm{rac}(A_n^{\bar{q},\Lambda}(k))$ valent $2n$.

Les algèbres de Weyl quantiques multiparamétrées définies ci-dessus, ou leur version "alternative" $\mathcal{A}_n^{\bar{q},\Lambda}(k)$ présentée dans [1], admettent toujours une localisation commune avec des algèbres $S_{n,r}^{\Lambda}(k)$. C'est l'objet de la proposition suivante.

Proposition 7.2 *Soient $n \geq 1$ un entier, $\bar{q} = (q_1, \ldots, q_n) \in (k^*)^n$ et $\Lambda \in M_n(k^*)$ multiplicativement antisymétrique. Soient r le nombre de q_i égaux à 1, et $q_{i_1}, \ldots, q_{i_{n-r}}$ les q_i différents de 1. Soit $\Lambda' \in M_{2n-r}(k^*)$ multiplicativement*

antisymétrique

$$\Lambda' = \begin{pmatrix} (1) & M \\ M' & \Lambda \end{pmatrix}, \quad \textit{avec}$$

$$M = (m_{k,t}) \in M_{n-r,n}(k^*) \textit{ définie par } m_{k,t} = q_{i_k} \textit{ si } t = i_k \textit{ et } m_{k,t} = 1 \textit{ sinon,}$$
$$M' = (m'_{k,t}) \in M_{n,n-r}(k^*) \textit{ définie par } m'_{k,t} = q_{i_t}^{-1} \textit{ si } k = i_t \textit{ et } m'_{k,t} = 1 \textit{ sinon.}$$

Alors $\mathcal{F}rac(A_n^{\bar{q},\Lambda}(k))$ *est* k*-isomorphe à* $\mathcal{F}rac(S_{2n-r,r}^{\Lambda'}(k))$.

Preuve. Dans $A_n^{\bar{q},\Lambda}(k)$ soit $z_i = x_i y_i - y_i x_i$ pour tout $1 \leq i \leq n$ (voir [20], et la section 1.3 de [28]). Ce sont des éléments normaux, et on note $B_n^{\bar{q},\Lambda}(k)$ le localisé de $A_n^{\bar{q},\Lambda}(k)$ en la partie multiplicative engendrée par les z_i. Considérons les éléments $x'_j = z_{j-1}^{-1} x_j$ et $z'_i = z_{i-1}^{-1} z_i$ de $B_n^{\bar{q},\Lambda}(k)$. Alors dans $B_n^{\bar{q},\Lambda}(k)$ les éléments

$$y_{j_1}, \ldots, y_{j_r}, y_{i_1}, \ldots, y_{i_{n-r}}, x'_{j_1}, \ldots, x'_{j_r}, z'_{i_1}, z'_{i_{n-r}},$$

où $j_1 < \ldots < j_r$ sont les indices tels que $q_{j_k} = 1$ pour $1 \leq k \leq r$, et $i_1 < \ldots < i_{n-r}$ sont les indices tels que $q_{i_k} \neq 1$ pour $1 \leq k \leq n-r$, vérifient les relations :

$$\begin{aligned}
y_i y_j &= \lambda_{i,j} y_j y_i, && \text{pour tous } 1 \leq i, j \leq n, \\
y_i x'_{j_k} &= \lambda_{i,j_k}^{-1} x'_{j_k} y_i, && \text{pour tous } 1 \leq i \leq n,\ 1 \leq k \leq r, i \neq j_k \\
x'_{j_k} y_{j_k} &= y_{j_k} x'_{j_k} + 1, && \text{pour tous } 1 \leq k \leq r \\
y_j z'_{i_k} &= z'_{i_k} y_j, && \text{pour tous } 1 \leq j \leq n,\ 1 \leq k \leq n-r,\ j \neq i_k \\
y_{i_k} z'_{i_k} &= q_{i_k} z'_{i_k} y_{i_k}, && \text{pour tous } 1 \leq k \leq n-r, \\
x'_{j_k} z'_{i_l} &= z'_{i_l} x'_{j_k}, && \text{pour tous } 1 \leq k \leq r,\ 1 \leq l \leq n-r.
\end{aligned} \tag{5}$$

On vérifie aisément que les monômes en ces éléments sont linéairement indépendants. Ceux-ci engendrent donc une sous-algèbre de $B_n^{\bar{q},\Lambda}(k)$ k-isomorphe à l'algèbre polynomiale mixte croisée $S_{2n-r,r}^{\Lambda'}(k)$. Par ailleurs leur définition implique que le corps de fractions de cette sous-algèbre est $\mathcal{F}\mathrm{rac}(A_n^{\bar{q},\Lambda}(k))$ tout entier. □

Corollaire 7.3 *Soit* $A_n^{\bar{q},\Lambda}(k)$ *une algèbre de Weyl quantique multiparamétrée. On suppose que, pour tout* $1 \leq i \leq n$*, on a* q_i*=1 ou* q_i *non racine de l'unité. Alors* $\mathcal{Z}(\mathcal{F}rac(A_n^{\bar{q},\Lambda}(k))) = k$.

Preuve. On a vu à la proposition 7.2 que le corps de fractions de $A_n^{\bar{q},\Lambda}(k)$ est le corps de fractions de l'algèbre polynomiale mixte croisée engendrée par les

générateurs

$$y_{j_1}, \ldots, y_{j_r}, y_{i_1}, \ldots, y_{i_{n-r}}, x'_{j_1}, \ldots, x'_{j_r}, z'_{i_1}, z'_{i_{n-r}},$$

avec les relations (5). Avec les notations de 7.2, la proposition 3.3.1 montre que $\mathcal{Z}(\mathcal{F}\mathrm{rac}(A_n^{\bar{q},\Lambda}(k)))$ est l'intersection de $\mathcal{Z}(k_{\Lambda'}(y_1, \ldots, y_n, z'_{i_1}, \ldots, z'_{i_{n-r}}))$ avec le sous-corps de $\mathcal{F}\mathrm{rac}(A_n^{\bar{q},\Lambda}(k))$ engendré par $y_{i_1}, \ldots, y_{i_{n-r}}, z'_{i_1}, \ldots, z'_{i_{n-r}}$. Puisqu'aucun des $q_{i_1}, \ldots, q_{i_{n-r}}$ n'est racine de l'unité, on montre facilement que le centre du tore quantique $\mathcal{O}_{\Lambda'}(k^{*2n-r})$ ne comporte aucun monôme en les générateurs $y_{i_1}, \ldots, y_{i_{n-r}}, z'_{i_1}, \ldots, z'_{i_{n-r}}$. On en déduit avec la proposition 2.8 de [10] qu'il en est de même du centre du corps $k_{\Lambda'}(y_1, \ldots, y_n, z'_{i_1}, \ldots, z'_{i_{n-r}})$, et donc que $\mathcal{Z}(\mathcal{F}\mathrm{rac}(A_n^{\bar{q},\Lambda}(k))) = k$. □

Proposition 7.4 *Soient $n \geq 1$ un entier, $\Lambda \in M_n(k^*)$ une matrice multiplicativement antisymétrique, et $\bar{q} = (q_1, \ldots, q_n) \in (k^*)^n$. Notons r le nombre de q_i égaux à 1. Alors*

$$\text{w-supdeg}(\mathcal{F}rac(A_n^{\bar{q},\Lambda}(k))) = 2r.$$

Preuve. Ceci découle du théorème 5.4.5 et de la proposition 7.2. □

On obtient enfin les résultats suivants concernant les corps de fractions des algèbres de Weyl quantiques multiparamétrées.

Théorème 7.5 *Soient $n, n' \geq 1$ deux entiers, $\bar{q} \in (k^*)^n$, $\bar{q}' \in (k^*)^{n'}$, $\Lambda \in M_n(k^*)$ et $\Lambda' \in M_{n'}(k^*)$ multiplicativement antisymétriques.*
Si $\mathrm{Frac}(A_n^{\bar{q},\Lambda}(k)) \cong \mathrm{Frac}(A_{n'}^{\bar{q}',\Lambda'}(k))$, *alors :*
– *$n = n'$ et $\bar{q}$ et $\bar{q}'$ ont le même nombre r d'éléments égaux à 1.*

– *Si de plus le tore quantique $\mathcal{O}_{\widetilde{\Lambda}}(k^{*2n-r})$ est simple, avec les notations de la proposition 7.2, alors :*

$$\mathcal{O}_{\widetilde{\Lambda}}(k^{*2n-r}) \cong \mathcal{O}_{\widetilde{\Lambda}'}(k^{*2n-r}).$$

Preuve. On applique le théorème 6.1, *via* la proposition 7.2. □

Remarque. Si tous les q_i sont égaux à 1, c'est-à-dire que $r = n$ alors $A_n^{\bar{1},\Lambda}(k) = S_{n,n}^{\Lambda}(k)$, et le théorème 6.3 s'applique directement.

Références

[1] M. Akhavizadegan, D.A. Jordan, Prime ideals of quantized Weyl algebras, Glasgow Math. J. 38 (1996), no. 3, 283–297.

[2] J. Alev, F. Dumas, Sur le corps de fractions de certaines algèbres quantiques, J. Algebra 170 (1994), no. 1, 229–265.

[3] ___, Corps de Weyl mixtes, Bol. Acad. Nac. Cienc. (Córdoba) 65 (2000), 29–43.

[4] J. Alev, A. Ooms, M. Van den Bergh, A class of counterexamples to the Gelfand-Kirillov conjecture, Trans. Amer. Math. Soc. 348 (1996), no. 5, 1709–1716.

[5] V.A. Artamonov, The skew field of rational quantum functions, Russian Math. Surveys 54 (1999), no. 4, 825–827.

[6] ___, General quantum polynomials : irreducible modules and Morita-equivalence, Izv. RAN, ser. math. 63 (1999), no. 5, 3-36.

[7] M. Awami, M. Van den Bergh, F. Van Oystaeyen, Note on derivations of graded rings and classification of differential polynomial rings, *in* Deuxime Contact Franco-Belge en Algbre (Faulx-les-Tombes, 1987). Bull. Soc. Math. Belg. Sr. A 40 (1988), no. 2, 175–183.

[8] K.A. Brown, K.R. Goodearl, Lectures on algebraic quantum groups. Advanced Course in Math. CRM Barcelona, Vol. 2. Birkhäuser Verlag, Basel, 2002.

[9] P. Caldero, On the Gelfand-Kirillov conjecture for quantum algebras, Proc. Amer. Math. Soc. 128 (2000), no. 4, 943–951.

[10] G. Cauchon, Séries formelles croisées, J. Pure Appl. Algebra 107 (1996), no. 2-3, 153–169.

[11] ___, Effacement des dérivations et spectres premiers des algèbres quantiques, J. Algebra 260 (2003), no. 2, 476–518.

[12] L.J. Corwin, I.M. Gelfand, R. Goodman, Quadratic algebras and skew-fields, in Representation theory and analysis on homogeneous spaces (New Brunswick, NJ, 1993). Contemp. Math., Vol. 117. Amer. Math. Soc., Providence, RI, 1994. pp 217–225.

[13] E.E. Demidov, Some aspects of the theory of quantum groups, Russian Math. Surveys 38 (1993), no. 6, 41–79.

[14] H. Fujita, E.E. Kirkman, J. Kuzmanovich, Global and Krull dimension of quantum Weyl algebras, J. Algebra 216 (1999), no. 2, 405–416.

[15] N. Fukuda, Inverse and direct images for quantum Weyl algebras, J. Algebra 236 (2001), no. 2, 471–501.

[16] I.M. Gelfand, A.A. Kirillov, Sur les corps liés aux algèbres enveloppantes des algèbres de Lie, Inst. Hautes Etudes Sci. Publ. Math. 31 (1966), 509–523.

[17] A. Giaquinto, J.J. Zhang, Quantum Weyl algebras, J. Algebra 174 (1995), no. 3, 861–881.

[18] C. Huh, C.O. Kim, Gelfand-Kirillov dimension of skew polynomial rings of automorphism type, Comm. Algebra 24 (1996), no. 7, 2317–2323.

[19] K. Iohara, F. Malikov, Rings of skew polynomials and Gelfand-Kirillov conjecture for quantum groups, Comm. Math. Phys. 164 (1994), no. 2, 217–237.

[20] D.A. Jordan, A simple localization of the quantized Weyl algebra, J. Algebra 174 (1995), no. 1, 267–281.

[21] ___, The graded algebra generated by two Eulerian derivatives, Algebr. Represent. Theory 4 (2001), no. 3, 249–275.

[22] A. Joseph, Sur une conjecture de Feigin, C. R. Acad. Sci. Paris Sr. I Math. 320 (1995), no. 12, 1441–1444.

[23] J.C. MacConnell, J.J. Pettit, Crossed products and multiplicative analogues of Weyl algebras, J. London Math. Soc. (2) 38 (1988), no. 1, 47–55.

[24] G. Maltsiniotis, Groupes quantiques et structures diffrentielles, C. R. Acad. Sci. Paris Sér. I Math. 311 (1990), no. 12, 831–834.

[25] A.N. Panov, Skew fields of twisted rational functions and the skew field of rational functions on $GL_q(n, K)$, St. Petersburg Math. J. 7 (1996), no. 1, 129–143.

[26] ___, Fields of fractions of quantum solvable algebras, J. Algebra 236 (2001), no. 1, 110–121.

[27] L. Richard, Sur les endomorphismes des tores quantiques, Comm. Algebra. 30 (2002), no. 11, 5281–5304.

[28] ___, Equivalence rationnelle et homologie de Hochschild pour certaines algèbres polynomiales classiques et quantiques, thèse de doctorat de l'Université Blaise Pascal, 2002.

[29] ___, Hochschild homology and cohomology of some classical and quantum noncommutative polynomial algebras, à paraître dans J. Pure Appl. Algebra.

[30] J. Wess, B. Zumino, Covariant differential calculus on the quantum hyperplane, Nuclear Phys. B Proc. Suppl. **18** (1990), 302–312.

[31] J.J. Zhang, On Gelfand-Kirillov transcendence degree, Trans. Amer. Math. Soc. 348 (1996), no. 7, 2867–2899.